

Technische und Wirtschaftswissenschaftliche Universität Budapest  
(BME)  
**Lehrstuhl für Strömungslehre**

**Dr. Tamás LAJOS**

# **Strömungslehre**

**Vorlesungsskript**

**zu den Vorlesungen der Deutschsprachigen  
Ingenieurausbildung**

**2005**



# Inhalt

Kapitel der Strömungslehre .....	5
<b>1. Eigenschaften von Fluiden.....</b>	<b>5</b>
Vergleich von Festkörper und Fluiden .....	5
Viskosität .....	6
Kompression von Wasserdampf .....	6
Kavitation.....	7
Vergleich von Flüssigkeiten und Gasen .....	7
<b>2. Beschreibung des Strömungsfeldes .....</b>	<b>8</b>
Skalarfelder .....	8
Vektorfelder .....	8
Charakterisierung der Felder.....	8
Potentialströmungen .....	10
<b>3. Kinematik und Kontinuität .....</b>	<b>10</b>
Definitionen .....	10
Zeitverhalten der Strömungen.....	11
Sichtbarmachung der Strömungen.....	11
Potentialwirbel .....	11
Die Bewegung kleiner Flüssigkeitsteilchen.....	12
Kontinuitätsgleichung .....	14
Verwendung der Kontinuitätsgleichung auf ein Stromfaden.....	14
Bestimmung der Durchschnittsgeschwindigkeit in einem Rohr mit Kreisquerschnitt.....	15
Substantielle, lokale und konvektive Veränderung von Variablen.....	15
<b>4. Hydrostatik .....</b>	<b>16</b>
Druckverteilung in einem ruhenden und in einem sich beschleunigenden Behälter .....	17
<b>5. Euler und Bernoulli-Gleichung .....</b>	<b>17</b>
Beschleunigung der Flüssigkeitsteilchen .....	17
Euler - Gleichung .....	18
Bernoulli Gleichung.....	19
Statischer, dynamischer und Gesamtdruck .....	19
Euler Gleichung in "natürlichem" Koordinatensystem.....	20
<b>6. Anwendungen .....</b>	<b>21</b>
Der rotierende Behälter.....	21
Messung des Volumenstromes mit Venturi-Rohr.....	22
Instationärer Ausfluss aus einem Behälter.....	23
Schwimmen von Körpern .....	24
Radialventilator, Eulersche Turbinengleichung.....	25
<b>7. Wirbelsätze: Thomsonscher Satz und Helmholtzsche Sätze.....</b>	<b>27</b>
Thomsonscher Satz (reibungsfreie Fluiden) .....	27
I. Helmholtzscher Satz .....	28
II. Helmholtzscher Satz.....	29
<b>8. Oberflächenspannung .....</b>	<b>29</b>

<b>9. Messungen</b> .....	<b>31</b>
<b>10. Der Impulssatz und seine Anwendung</b> .....	<b>33</b>
Der Impulssatz .....	33
Drallsatz .....	34
Anwendungen des Impulssatzes .....	34
Strahlen .....	38
<b>11. Strömung von reibungsbehaftete (viskose) Fluiden</b> .....	<b>42</b>
Rheologie (Fließkunde) .....	42
Bewegungsgleichung .....	42
Navier-Stokes-Gleichung.....	43
Ausgebildete laminare Rohrströmung (Hagen-Poiseuille Strömung) .....	44
Laminare und turbulente Strömungen .....	45
Ähnlichkeit der Strömungen .....	46
<b>12. Grenzschichten</b> .....	<b>48</b>
Eigenschaften der Strömung im Grenzschicht.....	49
Grenzschichtablösung .....	50
<b>13. Hydraulik</b> .....	<b>52</b>
Erweiterung der Bernoulli Gleichung an reibungsbehafteten Strömungen .....	52
Moody-Diagramm.....	53
Kompressible Rohrströmung .....	54
Strömung in Kanälen mit freiem Wasserspiegel .....	55
Reibungsverlust in Durchströmteilen .....	55
Anwendungen .....	56
<b>14. Aerodynamische Kräfte und Momente</b> .....	<b>58</b>
Die auf ein Zylinder wirkende aerodynamische Kraft.....	58
Auftrieb und Widerstand von Tragflügeln.....	59
Die auf ein Prisma (stumpfen Körper) wirkende Widerstandskraft .....	60
<b>15. Gasdynamik</b> .....	<b>62</b>
Energiesatz.....	62
Statische, dynamische und Gesamttemperatur .....	62
Bernoulli-Gleichung für kompressible Gase .....	62
Die Schallgeschwindigkeit.....	63
Ausströmung eines Gases aus einem Druckbehälter .....	64

## Kapitel der Strömungslehre

	Hydrostatik	Aerostatik	Hydrodynamik	Gasdynamik
<b>v</b> Geschwindigkeit				
<b>p</b> Druck				
<b>ρ</b> Dichte				
	ruhende Flüssigkeit in Kraftfeld	ruhendes Gas in Kraftfeld (Atmosphäre)	sich bewegende Flüssigkeit	sich bewegendes Gas mit erheblicher Dichteveränderung

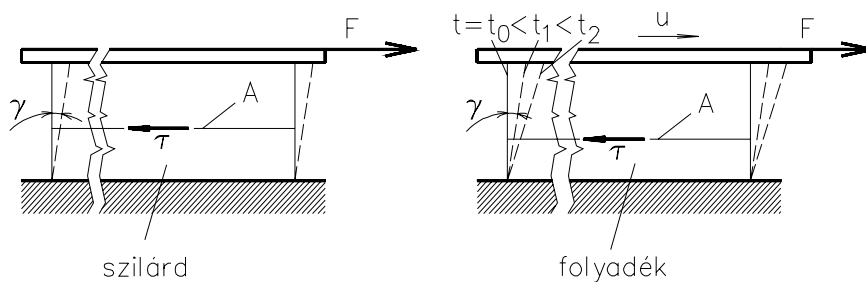
Bewegungszustand	$v = v(\underline{r}, t)$	$v_x, v_y, v_z$
Druckverteilung	$p = p(\underline{r}, t)$	$p$
Dichteverteilung	$\rho = \rho(\underline{r}, t)$	$\rho$
Temperaturverteilung	$T = T(\underline{r}, t)$	$T$

6 Größen  $\Rightarrow$  6 Gleichungen

Massenerhaltung (Kontinuitätsgleichung)	1 (skalar)
Kräftegleichgewicht (Bewegungsgleichungen)	3 (vektoriell)
Energiesatz	1 (skalar)
Zustandsgleichung	1 (skalar)

## 1. Eigenschaften von Fluiden

### Vergleich von Festkörper und Fluiden



$$\tau = F/A \text{ [Pa] Schubspannung}$$

Festkörper	$\gamma$ , <u>Deformation</u> ist proportional zur Schubspannung $\tau$
Fluiden (newtonsche)	$dy/dt$ , <u>Deformationsgeschwindigkeit</u> ist proportional zur Schubspannung $\tau$

nicht-newtonsche Fluiden

Erfahrungen mit Fluiden

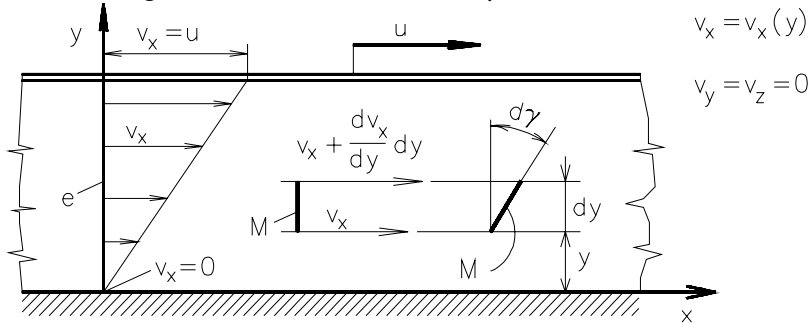
- Haftbedingung
- Deformation verursacht keine Veränderung der inneren Struktur

- kontinuierliche Deformation wenn Schubspannung wirkt
- keine Schubspannung bei ruhenden Fluiden

## Viskosität

Geschwindigkeitsverteilung

Verdrehung des Stäbchens M in dt: dy

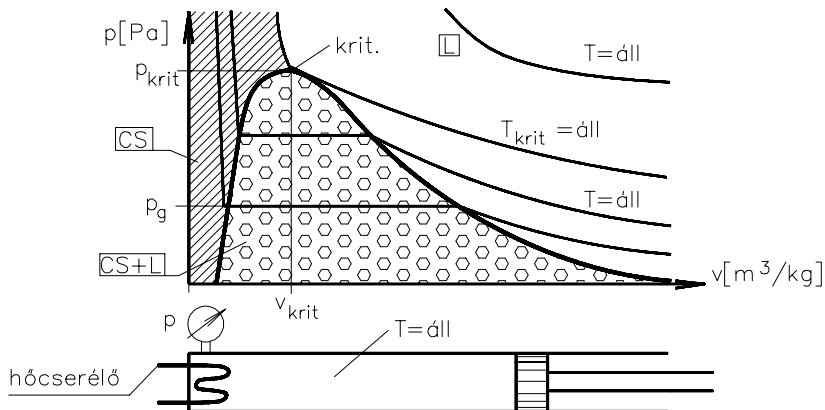


$$\frac{d\gamma}{dt} = \frac{dv_x}{dy} \quad \boxed{\tau_{xy} = \mu \frac{dv_x}{dy} = \mu \frac{d\gamma}{dt}} \quad \text{Newtonscher Viskositätssatz}$$

$$[\mu] = [\tau] \left[ \frac{\partial y}{\partial v_x} \right] = \frac{\text{kgm}}{\text{s}^2 \text{m}^2} \frac{\text{m}}{\text{m/s}} = \frac{\text{kg}}{\text{ms}} \quad \text{dynamische Viskosität}$$

$$\boxed{\nu = \frac{\mu}{\rho}} \quad [\text{m}^2/\text{s}] \quad \text{kinematische Viskosität}$$

## Kompression von Wasserdampf



Wenn  $T \gg T_{\text{krit}}$  ( $\text{O}_2$  und  $\text{N}_2 \rightarrow T_{\text{krit}} \quad 154 \text{ [K]} \text{ and } 126 \text{ [K]}$ )

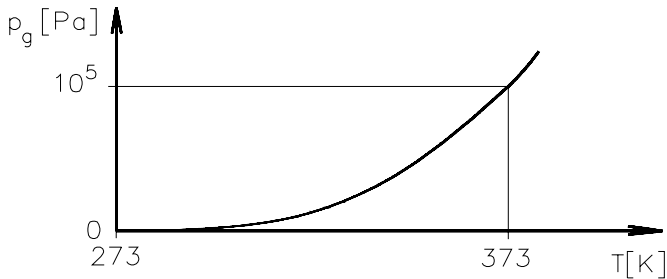
$$pv = \frac{p}{\rho} = RT \quad \text{ideale Gasgleichung}$$

wo  $p$  [Pa],  $\rho$  [ $\text{kg}/\text{m}^3$ ],  $T$  [K],  $R = R_u / M$ ,  $R_u = 8314.3 \text{ J/kg/K}$  universelle Gaskonstante,  $M$  [ $\text{kg}/\text{kmol}$ ] molare Masse, für Luft:  $M=29 \text{ kg/kmol}$ , so  $R=287 \text{ J/kg/K}$ .

## Kavitation

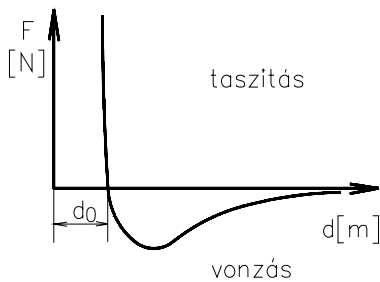
Sättigungsdruck (Dampfdruck) - Temperatur Wasser 15 °C,  $p_s = 1700 \text{ Pa}$ , 100 °C,  $p_s = 1.013 \cdot 10^5 \text{ Pa}$   
 Standard-Druck der Atmosphäre

### Kavitationserosion



## Vergleich von Flüssigkeiten und Gasen

Wechselwirkung von Molekülen (Anziehung und Abstoßung)



$d_0$  Moleküldurchmesser

	Flüssigkeiten	Gase
Abstand zwischen den Molekülen	klein $\cong d_0$	groß $\cong 10d_0$
Die Rolle der Wechselwirkung zwischen den Molekülen	wichtig $\Rightarrow$ freie Oberfläche	kleine $\Rightarrow$ das Gas füllt das verfügbare Volumen aus
Einfluß des Druckes auf das Volumen	klein $\Rightarrow$ 1000 bar verursacht 5% Abnahme von $V$	groß $\Rightarrow$ im Falle $T = \text{const}$ $V$ proportional zu $1/p$
Grund der Viskosität	Anziehungskraft zwischen Moleküle	Impulsaustausch der Moleküle
Beziehung zwischen Viskosität und Temperatur	$T$ nimmt zu, $\mu$ nimmt ab	$T$ nimmt zu, $\mu$ nimmt zu
Viskosität und Druck	unabhängig	unabhängig

## 2. Beschreibung des Strömungsfeldes

### Skalarfelder

Dichte  $\rho_v = \lim_{\Delta V \rightarrow \epsilon^3} \frac{\Delta m}{\Delta V} [\text{kg}/\text{m}^3]$ ,  $\Delta V$  Volumen Inkrement,  $\epsilon \gg \lambda$  (mittlere freie Weglänge)

Kontinuum  $\rho = \rho(\underline{r}, t)$   $\rho = \rho(x, y, z, t)$

### Druck

$p = |\Delta F| / |\Delta A|$  [N/m<sup>2</sup>], [Pa].

$p = p(\underline{r}, t)$ ,  $p = p(x, y, z, t)$

### Temperatur

$T = T(\underline{r}, t)$

### Vektorfelder

#### Geschwindigkeitsfeld

$\underline{v} = \underline{v}(\underline{r}, t)$  Eulersche Beschreibung des Geschwindigkeitsfeldes

#### Kraftfelder

$|\underline{g}| = \text{N}/\text{kg} = \text{m}/\text{s}^2$ .

Schwerkraftfeld:  $\underline{g} = -g_g \underline{k}$   $g_g = 9.81 \text{ N/kg}$ ,  $1 \text{ kg } 9.81 \text{ N}$

Trägheitskraftfeld: sich beschleunigendes Koordinatensystem ( $\underline{a} = a_i \underline{i}$ )  $\underline{g}_t = -a_i \underline{i}$ .

Zentrifugalfeld: rotierendes Koordinatensystem  $\underline{g}_c = \underline{r}\omega^2$

### Charakterisierung der Felder

#### Charakterisierung der Skalarfelder:

$$\text{grad} p = \frac{\partial p}{\partial x} \underline{i} + \frac{\partial p}{\partial y} \underline{j} + \frac{\partial p}{\partial z} \underline{k} = \frac{\partial p}{\partial \underline{r}} \text{ Gradientvektor}$$

4 charakteristische Kennzeichen des Gradientenvektors:

Der grad p Vektor

- ist parallel mit der Richtung der schnellsten Veränderung von p,
- ist senkrecht auf  $p = \text{Konst.}$  Fläche,
- zeigt in die Richtung der Zunahme von p.
- Seine Länge ist proportional zu dem Grad der Veränderung von p.



Die Veränderung der Skalargröße:

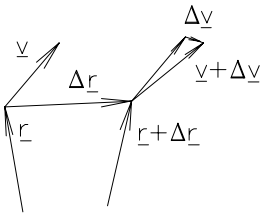
$$\Delta p = p_B - p_A \cong \text{grad} p \Delta \underline{s} = \frac{\partial p}{\partial x} \Delta x + \frac{\partial p}{\partial y} \Delta y + \frac{\partial p}{\partial z} \Delta z$$

Charakterisierung der Vektorfelder:

$$\underline{v} = v_x \underline{i} + v_y \underline{j} + v_z \underline{k} = \underline{v}(\underline{r}, t).$$

Vektorfeld = 3 Skalarfeld

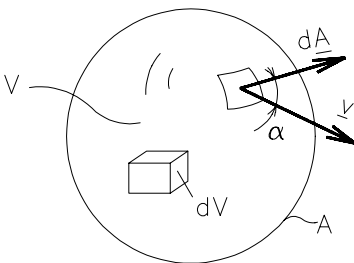
$$v_x = v_x(x, y, z, t), v_y = v_y(x, y, z, t), v_z = v_z(x, y, z, t).$$



$$\Delta v_x \cong \text{grad} v_x \Delta \underline{r} = \frac{\partial v_x}{\partial x} \Delta x + \frac{\partial v_x}{\partial y} \Delta y + \frac{\partial v_x}{\partial z} \Delta z.$$

$$\Delta \underline{v} \cong \begin{bmatrix} \frac{\partial v_x}{\partial x} \Delta x + \frac{\partial v_x}{\partial y} \Delta y + \frac{\partial v_x}{\partial z} \Delta z \\ \frac{\partial v_y}{\partial x} \Delta x + \frac{\partial v_y}{\partial y} \Delta y + \frac{\partial v_y}{\partial z} \Delta z \\ \frac{\partial v_z}{\partial x} \Delta x + \frac{\partial v_z}{\partial y} \Delta y + \frac{\partial v_z}{\partial z} \Delta z \end{bmatrix}$$

Divergenz:  $\text{div} \underline{v} = \frac{\partial v_x}{\partial x} + \frac{\partial v_y}{\partial y} + \frac{\partial v_z}{\partial z},$



$$dq_v = \underline{v} d\underline{A} = |\underline{v}| |d\underline{A}| \cos \alpha \text{ [m}^3 / \text{s]}$$

$$\boxed{\int_A \underline{v} d\underline{A} = \int_V \text{div} \underline{v} dV} \quad \underline{\text{Gaußscher Integralsatz}}$$

Rotation

$$\operatorname{rot} \underline{v} = \nabla \times \underline{v} = \begin{vmatrix} \underline{i} & \underline{j} & \underline{k} \\ \frac{\partial}{\partial x} & \frac{\partial}{\partial y} & \frac{\partial}{\partial z} \\ v_x & v_y & v_z \end{vmatrix} = \begin{bmatrix} \frac{\partial v_z}{\partial y} - \frac{\partial v_y}{\partial z} \\ \frac{\partial v_x}{\partial z} - \frac{\partial v_z}{\partial x} \\ \frac{\partial v_y}{\partial x} - \frac{\partial v_x}{\partial y} \end{bmatrix}$$

$$\operatorname{rot} \underline{v} = 2\underline{\Omega}$$

$$\Gamma = \oint_G \underline{v} d\underline{s} = \int_A \operatorname{rot} \underline{v} dA \quad \text{Stokesscher Integralsatz}$$

### Potentialströmungen

$\underline{v} = \operatorname{grad} \phi$  Voraussetzung:  $\Gamma = \oint_G \underline{v} d\underline{s} = 0$ , oder  $\operatorname{rot} \underline{v} = 0$

Beispiel: für das Schwerekraftfeld  $\underline{g}$ :  $\oint_G \underline{g} d\underline{s} = 0$  die Arbeit des Kraftfeldes

$U$  [ $\text{m}^2/\text{s}^2$ ] Potenzial des Vektorfeldes

$$\underline{g} = -\operatorname{grad} U$$

Schwerekraftfeld:  $\underline{g}_g = -g_g \underline{k}$   $U_g = g_g z + \text{konst.}$

Trägheitskraftfeld: sich beschleunigendes Koordinatensystem  $\underline{g}_t = -a \underline{i}$   $U_t = ax + \text{konst.}$

Zentrifugalfeld: rotierendes Koordinatensystem  $\underline{g}_c = \underline{r} \omega^2$   $U_c = -\frac{r^2 \omega^2}{2} + \text{konst.}$

## 3. Kinematik und Kontinuität

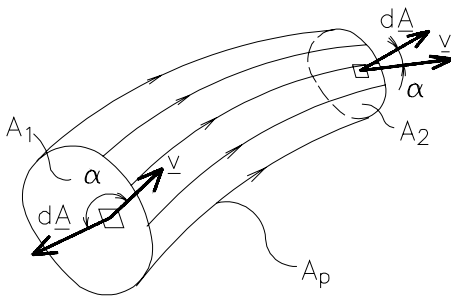
### Definitionen

Streichlinie verbindet die Flüssigkeitsteilchen die einen Punkt des Raumes nacheinander passieren.  
Zb. Photo: (Momentaufnahme) Rauchfaden aus ein Schornstein, Öldampffaden um ein Fahrzeugmodell im Windkanal.

Bahnlinie verbindet die aufeinanderfolgende Positionen eines Flüssigkeitsteilchens (Zeitaufname).

Stromlinie: die Kurve, die durch die Geschwindigkeitsvektoren tangiert wird. ( $\underline{v} \times d\underline{s} = 0$ .)

Stromfläche, Stromrögre: keine Strömung durch die Fläche.



## Zeitverhalten der Strömungen

Instationäre Strömungen:  $\underline{v} = \underline{v}(\underline{r}, t)$

Stationäre Strömungen:  $\underline{v} = \underline{v}(\underline{r})$

In vielen Fällen kann die Zeitabhängigkeit der Strömung durch Koordinatentransformation aufgehoben werden.

In stationären Strömungen fallen die Strom-, Bahn- und Streichlinien zusammen, in instationären Strömungen im allgemeinen nicht.

## Sichtbarmachung der Strömungen

quantitative und/oder qualitative Informationen

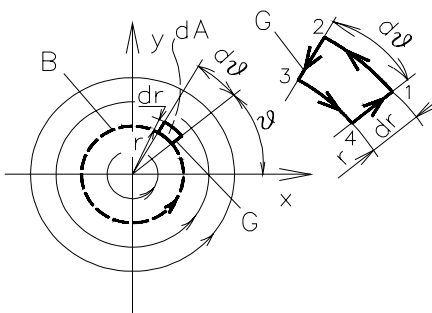
Durchsichtige Fluiden, reflektierende Teilchen, die sich zusammen mit dem Fluid bewegen:

- Teilchen von gleicher Dichte oder
- sehr kleine Teilchen (großer aerodynamischer Widerstand).

Öldampf, Rauch, Wasserstoff-Bläschen, Farbe, Kunststoffkugeln in Wasser,  
Wollfaden in Luft,

PIV (Particle Image Velocimetry), LDA Laser Doppler Anemometry)

## Potentialwirbel



Ebene (Zweidimensionale, 2D) Strömungen:  $v_z = 0, \frac{\partial v_x}{\partial z} = \frac{\partial v_y}{\partial z} = 0.$

Aufgrund Kontinuitätsüberlegung:  $v = v(r)$   $\underline{v}(\underline{r}) = ?$

Bestimmung von  $\text{rot} \underline{v}$  mit Anwendung des Stokesschen Integralsatzes:  $\Gamma = \oint_G \underline{v} d\underline{s} = \int_A \text{rot} \underline{v} d\underline{A}$

$$\oint_G \underline{v} d\underline{s} = \int_1^2 \underline{v} d\underline{s} + \int_2^3 \underline{v} d\underline{s} + \int_3^4 \underline{v} d\underline{s} + \int_4^1 \underline{v} d\underline{s}$$

Da  $\underline{v} \perp d\underline{s}$  im 2. und 4. Integral, und  $\underline{v}$  und  $d\underline{s}$  bilden  $0^\circ$  oder  $180^\circ$  im 1. und 3. Integral

$$\oint_G \underline{v} d\underline{s} = (r+dr)d\vartheta v(r+dr) - rd\vartheta v(r)$$

Da  $v(r+dr) = v(r) + \frac{dv}{dr}dr$

nach Substitution

$$\oint_G \underline{v} d\underline{s} = rd\vartheta \frac{dv}{dr}dr + drd\vartheta v(r) + \underbrace{drd\vartheta \frac{dv}{dr}dr}_{=0}$$

Bei ebenen Strömungen ist nur  $(\text{rot } \underline{v})_z \neq 0$ .

$$\int_{dA} \text{rot } \underline{v} dA = (\text{rot } \underline{v})_z r d\vartheta dr$$

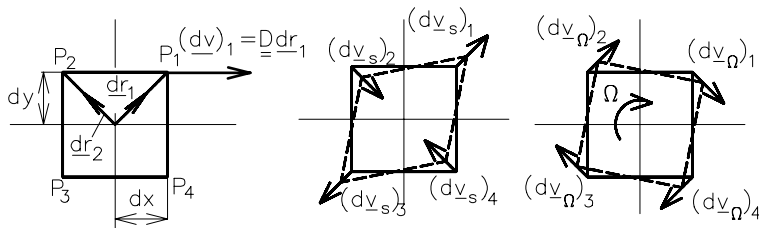
$$\boxed{(\text{rot } \underline{v})_z = \frac{dv}{dr} + \frac{v}{r}}$$

Beispiel:  $v = r\omega \Rightarrow (\text{rot } \underline{v})_z = 2\omega$

Im Falle  $\text{rot } \underline{v} = 0$

$$\frac{dv}{v} = -\frac{dr}{r} \Rightarrow \ln v = -\ln r + \ln \text{const} \Rightarrow \boxed{v = \frac{K}{r}}$$
 Geschwindigkeitsverteilung in Potentialwirbel.

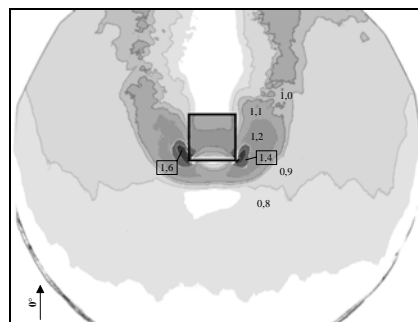
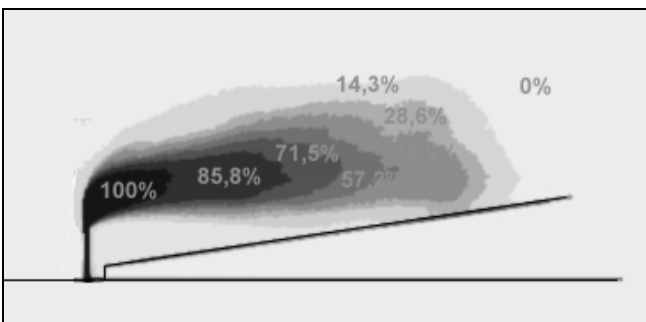
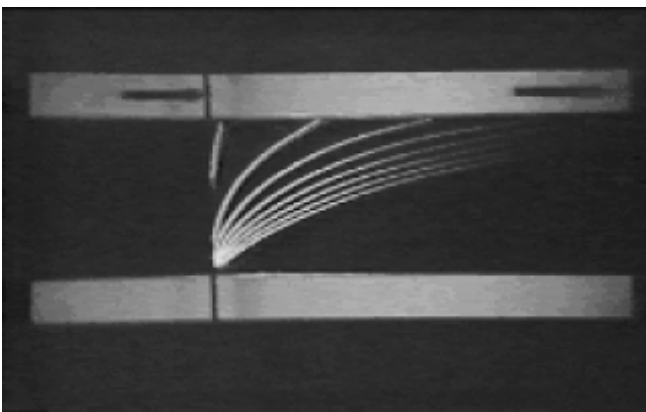
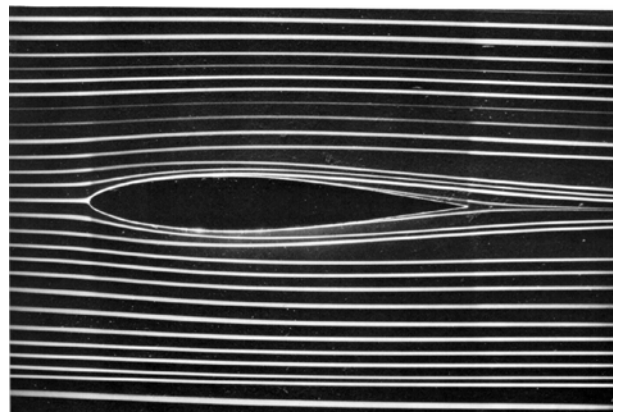
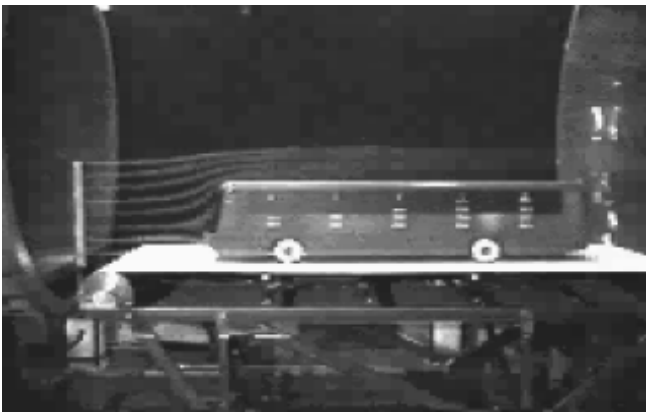
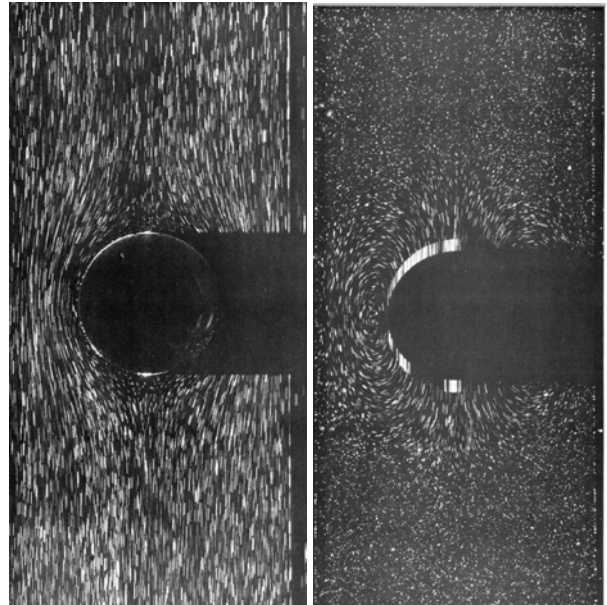
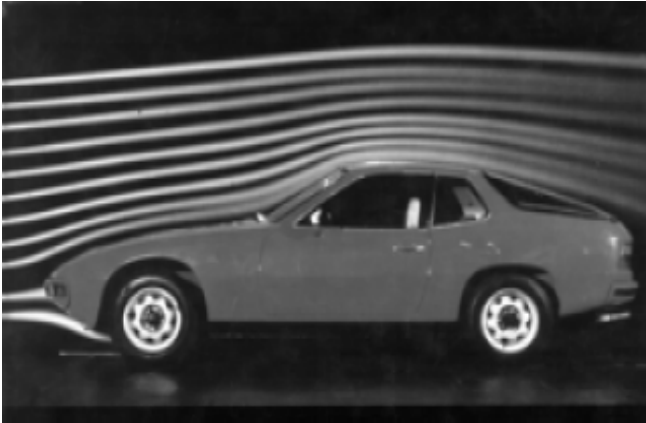
## Die Bewegung kleiner Flüssigkeitsteilchen



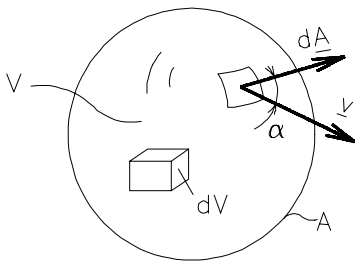
Die Bewegung von Teilchen kann als Superposition von Parallelverschiebung, Deformation und Rotation hergestellt werden.

In Potentialströmungen gibt es keine Rotation.

Beispiele für die Sichtbarmachung der Strömungen



## Kontinuitätsgleichung



$$dq_m = \rho \underline{v} d\underline{A} = \rho |\underline{v}| |d\underline{A}| \cos \alpha \quad [\text{m}^3 / \text{s}]$$

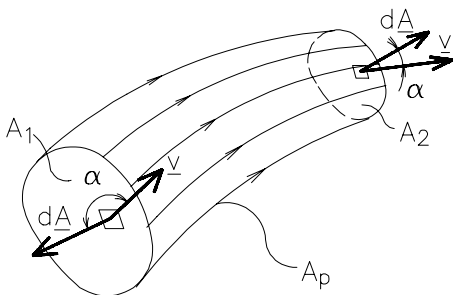
Integralform der Kontinuitätsgleichung: 
$$\int_A \rho \underline{v} d\underline{A} + \int_V \frac{\partial(\rho \underline{v})}{\partial t} dV = 0$$

Differentialform: 
$$\frac{\partial \rho}{\partial t} + \text{div}(\rho \underline{v}) = 0$$
, wenn die Strömung stationär ist:  $\underline{v} = \underline{v}(\underline{r}) \Rightarrow \text{div}(\rho \underline{v}) = 0$ ,

wenn die Fluiden inkompressibel sind:  $\rho = \text{const.} \Rightarrow \text{div} \underline{v} = 0$

## Verwendung der Kontinuitätsgleichung auf ein Stromfaden

Stationäre Strömung, keine Strömung durch den Mantel des Stromrohres.



Integralform der Kontinuitätsgleichung für stationäre Strömung: 
$$\int_A \rho \underline{v} d\underline{A} = 0$$
. "A" enthält den

Mantel  $A_p$  ( $\underline{v} \perp d\underline{A}$ ),  $A_1$  und  $A_2$ , die Ein- und Ausflussquerschnitte. 
$$\int_{A_1} \rho \underline{v} d\underline{A} + \int_{A_2} \rho \underline{v} d\underline{A} = 0$$
.

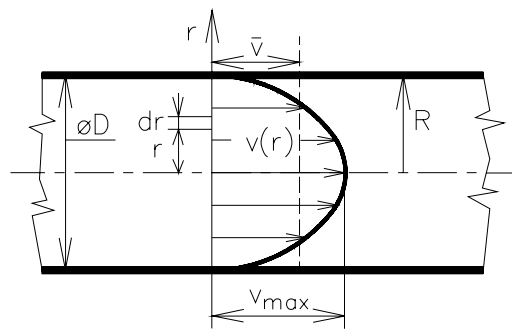
Da  $\underline{v} d\underline{A} = |\underline{v}| |d\underline{A}| \cos \alpha$ , 
$$\int_{A_1} \rho |\underline{v}| |d\underline{A}| \cos \alpha + \int_{A_2} \rho |\underline{v}| |d\underline{A}| \cos \alpha = 0$$
 Annahmen: über  $A_1$  und  $A_2$   $\underline{v} \perp$

$A$  und über  $A_1$   $\rho = \rho_1 = \text{const}$ , über  $A_2$   $\rho = \rho_2 = \text{const}$ '.

Das Ergebnis ist:  $\rho \bar{v} A = \text{const}$ , wo  $\bar{v}$  die Durchschnittsgeschwindigkeit ist. Bei sich veränderndem

Querschnitt einer Rohrleitung: 
$$\rho_1 \bar{v}_1 A_1 = \rho_2 \bar{v}_2 A_2 \Rightarrow \bar{v}_2 = \bar{v}_1 \frac{\rho_1 D_1^2}{\rho_2 D_2^2}$$

## Bestimmung der Durchschnittsgeschwindigkeit in einem Rohr mit Kreisquerschnitt



$\bar{v} = ?$  Durchschnittsgeschwindigkeit

In dem Rohrquerschnitt von Durchmesser  $D$  lässt sich die Geschwindigkeitsverteilung mit einem Paraboloid beschreiben. Der Unterschied zwischen  $v_{\max}$  und  $v(r)$  hängt von  $n$ . Exponent von  $r$  ab, so  $v(r) = v_{\max} \left[ 1 - (r/R)^n \right]$ .

Durchschnittsgeschwindigkeit:

$$\bar{v} = \frac{4q_v}{D^2 \pi} [\text{m/s}] \quad \text{wo } q_v [\text{m}^3/\text{s}] \text{ der Volumenstrom ist.}$$

Der Volumenstrom durch den Elementarquerschnitt eines Kreisringes (Radius  $r$ , Dicke  $dr$ , Querschnitt  $2r\pi dr$ ) ist

$$dq_v = 2r \pi v(r) dr \Rightarrow q_v = \int_0^R 2r \pi v_{\max} \left[ 1 - (r/R)^n \right] dr.$$

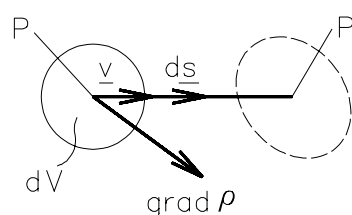
Die Integration ergibt:  $q_v = R^2 \pi v_{\max} \frac{n}{n+2}$ , so ist die Durchschnittsgeschwindigkeit:

$$\bar{v} = \frac{n}{n+2} v_{\max}.$$

Im Fall eines Paraboloids von  $n = 2$  ist die Durchschnittsgeschwindigkeit die Hälfte der Maximalgeschwindigkeit.

## Substantielle, lokale und konvektive Veränderung von Variablen

$$\frac{\partial \rho}{\partial t} + \text{div}(\rho \underline{v}) = 0 \Rightarrow \frac{\partial \rho}{\partial t} + \underline{v} \text{grad} \rho + \rho \text{div}(\underline{v}) = 0$$



Die Geschwindigkeit in Punkt P ist  $\underline{v}$ , die örtliche Veränderung der Dichte kann durch  $\text{grad } \rho$  beschrieben werden. Instationäre Strömung:  $\partial \rho / \partial t \neq 0$ . Gesucht ist die Dichteveränderung  $d\rho$  in der Zeit  $dt$ .

Zwei Ursachen der Veränderung von  $\rho$ :

- Die Zeitabhängigkeit der Dichte ( $\partial \rho / \partial t \neq 0$ )  $\Rightarrow$  die Veränderung der Dichte in der Zeit  $dt$  in Punkt P:  $d\rho_1 = \frac{\partial \rho}{\partial t} dt$
- Das Flüssigkeitsteilchen hinterlässt in  $dt$  Zeit einen Elementarweg  $d\underline{s} = \underline{v} dt$  und erreicht Punkt P', wo die Dichte sich von der Dichte in Punkt P mit  $d\rho_k = \text{grad } \rho d\underline{s} = \text{grad } \rho \underline{v} dt$  unterscheidet.
  - $d\rho_1$  ist die lokale Veränderung der Dichte (nur bei instationären Strömungen)
  - $d\rho_k$  ist die konvektive Veränderung der Dichte, die durch die Bewegung der Flüssigkeitsteilchen und die örtliche Veränderung der Dichte verursacht wird.

Die substantielle Veränderung der Dichte in der Zeit  $dt$  ist:  $d\rho = d\rho_1 + d\rho_k = \frac{\partial \rho}{\partial t} dt + \underline{v} \text{grad } \rho dt$

Die Veränderung pro Zeiteinheit:  $\frac{d\rho}{dt} = \frac{\partial \rho}{\partial t} + \underline{v} \text{grad } \rho$ . Die Kontinuitätsgleichung kann umgeformt

werden:  $\boxed{\frac{\partial \rho}{\partial t} + \text{div}(\rho \underline{v}) = 0} \Rightarrow \frac{\partial \rho}{\partial t} + \underline{v} \text{grad } \rho + \rho \text{div}(\underline{v}) = 0 \Rightarrow \boxed{\frac{d\rho}{dt} + \rho \text{div} \underline{v} = 0}$

## 4. Hydrostatik

Ruhende Fluiden: Die Kraft die auf die Masse wirkt (z.B. Gewicht), wird von den Kräften die auf der Oberfläche wirken (Druckkräfte und die Kräfte infolge der Schubspannung) ausgeglichen.

$$\rho dx dy dz g_x + dy dz p(x) - dy dz \left( p(x) + \frac{\partial p}{\partial x} dx \right) = 0$$

$$\rho g_x = \frac{\partial p}{\partial x} \Rightarrow \boxed{\text{grad } p = \rho \underline{g}}$$
 Grundgleichung der Hydrostatik.

Annahme:  $\underline{g} = -\text{grad } U$  (Potentialkraftfeld).

Da  $\text{grad } p = -\rho \text{grad } U \Rightarrow p = \text{const}$  Ebenen fallen mit der  $U = \text{const}$  (Äquipotentialfläche) zusammen.

Die Oberfläche (Wasserspiegel) einer Flüssigkeit fällt mit der  $U = \text{const}$  Äquipotentialfläche zusammen  $\Rightarrow$  die Flüssigkeits-Oberfläche ist senkrecht auf den Kraftfeld-Vektor.

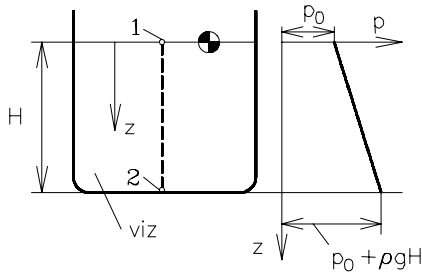
Annahme:  $\underline{g} = -\text{grad } U$  (Potentialkraftfeld),  $\rho = \text{const}$  (inkompressible Fluiden)

$$\frac{1}{\rho} \text{grad } p = \text{grad } \frac{p}{\rho} = -\text{grad } U \Rightarrow \text{grad} \left( \frac{p}{\rho} + U \right) = 0 \Rightarrow \boxed{\frac{p}{\rho} + U = \text{const}}$$

$$\boxed{\frac{p_1}{\rho_1} + U_1 = \frac{p_2}{\rho_2} + U_2} : \text{ unvollständige Bernoulli-Gleichung.}$$



## Druckverteilung in einem ruhenden und in einem sich beschleunigenden Behälter



Aus der Grundgleichung der Hydrostatik:  $\underline{g} = g\underline{k}$ , wo  $g = 9.81 \text{ N/kg}$ .  $\frac{\partial p}{\partial x} \underline{i} + \frac{\partial p}{\partial y} \underline{j} + \frac{\partial p}{\partial z} \underline{k} = \rho g \underline{k}$

$$dp/dz = \rho g, \rho = \text{const} \Rightarrow p = \rho g z + \text{const}$$

In  $z = 0$ ,  $p = p_0 \Rightarrow \text{Const.} = p_0 \Rightarrow \boxed{p = p_0 + \rho g z}$ .  $\Rightarrow$  In  $z = H$  (Punkt 2)  $p_2 = p_0 + \rho g H$

Bernoulli-Gleichung  $\boxed{\frac{p_1}{\rho_1} + U_1 = \frac{p_2}{\rho_2} + U_2}$ .

Punkt 1 auf der Oberfläche ( $z = 0$ ), Punkt 2 am Behälterboden ( $z = H$ ).

Wenn die Koordinate  $z$  nach unten zeigt:  $U = -gz$ ,  $p_1 = p_0, z_1 = 0, p_2 = ?, z_2 = H$ .

$$\boxed{p_2 - p_0 = \rho g H}$$

Wenn der Behälter sich nach oben beschleunigt, ist das Wasser nur in dem Koordinatensystem in Ruhe, das sich nach oben beschleunigt. In diesem Fall muss eine zusätzliche (Trägheits-) Kraftfeld berücksichtigt werden:  $g_i = a \underline{k}$ :

$$U_i = -az \quad U = U_g + U_i = -(g+a)z \Rightarrow \boxed{p_2 - p_0 = \rho(g+a)H}$$

## 5. Euler und Bernoulli-Gleichung

### Beschleunigung der Flüssigkeitsteilchen

Die Veränderung von  $v_x$  pro Zeiteinheit, d.h. die Beschleunigung der Flüssigkeitsteilchen in  $x$  Richtung ist:

$$\frac{dv_x}{dt} = \frac{\partial v_x}{\partial t} + \underline{v} \text{grad} v_x$$

Das erste Glied auf der rechten Seite der Gleichung ist die lokale Beschleunigung, das zweite Glied die konvektive Beschleunigung.

$$\begin{aligned} \frac{dv_x}{dt} &= \frac{\partial v_x}{\partial t} + v_x \frac{\partial v_x}{\partial x} + v_y \frac{\partial v_x}{\partial y} + v_z \frac{\partial v_x}{\partial z} \\ \frac{dv_y}{dt} &= \frac{\partial v_y}{\partial t} + v_x \frac{\partial v_y}{\partial x} + v_y \frac{\partial v_y}{\partial y} + v_z \frac{\partial v_y}{\partial z} \\ \frac{dv_z}{dt} &= \frac{\partial v_z}{\partial t} + v_x \frac{\partial v_z}{\partial x} + v_y \frac{\partial v_z}{\partial y} + v_z \frac{\partial v_z}{\partial z} \end{aligned}$$

Bestimmung des Differentiales von  $\underline{v}(\underline{r}, t)$ :  $d\underline{v} = \frac{\partial \underline{v}}{\partial t} dt + \frac{\partial \underline{v}}{\partial \underline{r}} \frac{\partial \underline{r}}{\partial t} dt$ .

$\underline{dv}$  kann auf Zeiteinheit bezogen werden, dh. mit dt dividieren:

$$\frac{d\underline{v}}{dt} = \frac{\partial \underline{v}}{\partial t} + \frac{\partial \underline{v}}{\partial \underline{r}} \frac{\partial \underline{r}}{\partial t}, \text{ wo } \frac{\partial \underline{r}}{\partial t} = \underline{v}.$$

Wenn die Strömung instationär ist, ist die lokale Beschleunigung ungleich 0. Die konvektive Beschleunigung existiert, wenn die Größe und/oder die Richtung der Geschwindigkeit sich in die Richtung der Bewegung des Flüssigkeitsteilchens verändert.

Der Ausdruck für die Beschleunigung kann transformiert werden:

$$\frac{d\underline{v}}{dt} = \frac{\partial \underline{v}}{\partial t} + \text{grad} \frac{v^2}{2} - \underline{v} \times \text{rot} \underline{v}.$$

## Euler - Gleichung

Reibungsfreie Strömung:  $\underline{\mu} = 0$

Die Resultierende der Kräfte = Masse · Beschleunigung

Reibungsfreie Strömung: die Kräfte werden durch den Druck und das Kraftfeld verursacht (keine Schubspannung).

Die Beschleunigung eines Würfels von Kantenlängen dx, dy, dz in x Richtung und die Kräfte die auf den Würfel in x Richtung wirken können in einer Gleichung in Zusammenhang gebracht werden:

$$\rho dx dy dz \frac{dv_x}{dx} = \rho dx dy dz g_x + p dy dz - \left(p + \frac{\partial p}{\partial x} dx\right) dy dz$$

$$\frac{dv_x}{dx} = g_x - \frac{1}{\rho} \frac{\partial p}{\partial x}$$

$$\boxed{\frac{d\underline{v}}{dt} = \frac{\partial \underline{v}}{\partial t} + \text{grad} \underline{v} - \underline{v} \times \text{rot} \underline{v} = \underline{g} - \frac{1}{\rho} \text{grad} p} : \text{ Euler-Gleichung}$$

$$\text{Wenn } \rho = \rho(p), \quad -\frac{1}{\rho(p)} \text{grad} p = -\text{grad} \int_{p_0}^p \frac{dp}{\rho(p)}$$

Wenn  $\rho = \text{const}$  die unbekannte Variablen sind:  $v_x, v_y, v_z, p$

$$\frac{\partial v_x}{\partial t} + v_x \frac{\partial v_x}{\partial x} + v_y \frac{\partial v_x}{\partial y} + v_z \frac{\partial v_x}{\partial z} = g_x - \frac{1}{\rho} \frac{\partial p}{\partial x}$$

$$\frac{\partial v_y}{\partial t} + v_x \frac{\partial v_y}{\partial x} + v_y \frac{\partial v_y}{\partial y} + v_z \frac{\partial v_y}{\partial z} = g_y - \frac{1}{\rho} \frac{\partial p}{\partial y}$$

$$\frac{\partial v_z}{\partial t} + v_x \frac{\partial v_z}{\partial x} + v_y \frac{\partial v_z}{\partial y} + v_z \frac{\partial v_z}{\partial z} = g_z - \frac{1}{\rho} \frac{\partial p}{\partial z}$$

$$\frac{\partial v_x}{\partial x} + \frac{\partial v_y}{\partial y} + \frac{\partial v_z}{\partial z} = 0 \text{ Vier unbekannte Variablen, vier Gleichungen.}$$

## Bernoulli Gleichung

Reibungsfreie Strömung:  $\underline{u} = 0$

$$\int_1^2 \frac{\partial \underline{v}}{\partial t} d\underline{s} + \int_1^2 \text{grad} \frac{v^2}{2} d\underline{s} - \int_1^2 \underline{v} \times \text{rot} \underline{v} d\underline{s} = \int_1^2 \underline{g} d\underline{s} - \int_1^2 \frac{1}{\rho} \text{grad} p d\underline{s}$$

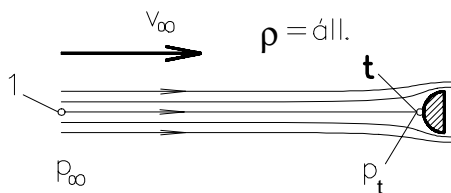
- a) Da  $\int_1^2 \text{grad} f d\underline{s} = f_2 - f_1$  Integral II =  $\frac{v_2^2 - v_1^2}{2}$
- b) Wenn  $\underline{g} = -\text{grad} U$  Integral IV =  $-(U_2 - U_1)$
- c) Wenn die Strömung stationär ist:  $(\frac{\partial \underline{v}}{\partial t} = 0)$  Integral I = 0
- d) Integral III = 0, wenn
- $\underline{v} = 0$  ruhende Fluiden
  - $\text{rot} \underline{v} = 0$  Potentialströmung
  - $d\underline{s}$  fällt in die Ebene bestimmt durch  $\underline{v}$  und  $\text{rot} \underline{v}$  Vektor
  - $d\underline{s} \parallel \underline{v}$  (Integrieren entlang Stromlinie)
  - $d\underline{s} \parallel \text{rot} \underline{v}$  (Integrieren entlang Wirbellinie)
- e) Wenn  $\rho = \text{const}$ , Integral V =  $-\frac{p_2 - p_1}{\rho}$ , wenn  $\rho = \rho(p)$ , Integral V =  $\int_{p_1}^{p_2} \frac{dp}{\rho(p)}$

Im Fall von reibungsfreier stationärer Strömung von inkompressiblen Fluiden ( $\rho = \text{const.}$ ), wenn  $\underline{g} = -\text{grad} U$  und wenn das Integrieren entlang Stromlinie erfolgt:

$$\boxed{\frac{v_1^2}{2} + \frac{p_1}{\rho} + U_1 = \frac{v_2^2}{2} + \frac{p_2}{\rho} + U_2}$$

Die Bernoullische Summe = const entlang der Stromlinie.

## Statischer, dynamischer und Gesamtdruck



$$\frac{v_1^2}{2} + \frac{p_1}{\rho} + U_1 = \frac{v_2^2}{2} + \frac{p_2}{\rho} + U_2$$

Im Staupunkt  $\underline{v} = 0$ , deshalb  $p_\infty + \frac{\rho}{2} v_\infty^2 = p_t$

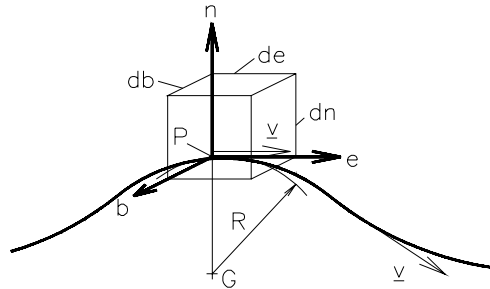
$p_d = \frac{\rho}{2} v_\infty^2$  : dynamischer Druck

$p_\infty$  : statischer Druck

$p_t$  Gesamtdruck, Staudruck

Im Fall von reibungsfreier, stationärer Strömung von inkompressiblen Fluiden und bei Vernachlässigung der Kraftfelder ist der Gesamtdruck entlang Stromlinien konstant.

### Euler Gleichung in "natürlichem" Koordinatensystem



Stationäre Strömung reibungsfreier ( $\mu=0$ ) Fluide.

**e** (Bahnrichtung) Koordinate ist Tangente der Stromlinie (in stationärer Strömung auch Bahnlinie),  
**n** (Hauptnormalenrichtung) steht senkrecht auf die Stromlinie und passiert den Krümmungsmittelpunkt der Stromlinie,  
**b** (Binormalenrichtung) ist senkrecht auf e und n.

#### Bahnrichtung e

Die Kraft die auf ein infinitesimales Flüssigkeitsteilchen mit Kantenlängen db, dn und de (Masse:  $dm = \rho db dn de$ ) in die e Richtung wirkt:

$$dF_e = \rho db dn \left[ p + \left( \frac{\partial p}{\partial e} \right) de \right] db dn + \rho db dn de g_e,$$

wo  $g_e$  die e Komponente des Kraftfeldes ist.

Da die Strömung stationär ist, existiert nur konvektive Beschleunigung, und da

$$v_n = v_b = 0, \quad a_{conv} = v \frac{\partial v}{\partial e}.$$

$$\rho db dn de v \frac{\partial v}{\partial e} = - \frac{\partial p}{\partial e} de db dn + \rho db dn de g_e.$$

$$\boxed{v \frac{\partial v}{\partial e} = - \frac{1}{\rho} \frac{\partial p}{\partial e} + g_e}$$

#### Hauptnormalenrichtung n

$dm \frac{v^2}{R}$  Zentripetalkraft ist nötig, wenn sich die Masse dm mit Geschwindigkeit v entlang einer Stromlinie mit dem Krümmungsradius R bewegt:

$$- \rho de db dn \frac{v^2}{R} = \rho db de \left[ p + \left( \frac{\partial p}{\partial n} \right) dn \right] db de + \rho de db dn g_n$$

$$\frac{v^2}{R} = -\frac{1}{\rho} \frac{\partial p}{\partial n} + g_n$$

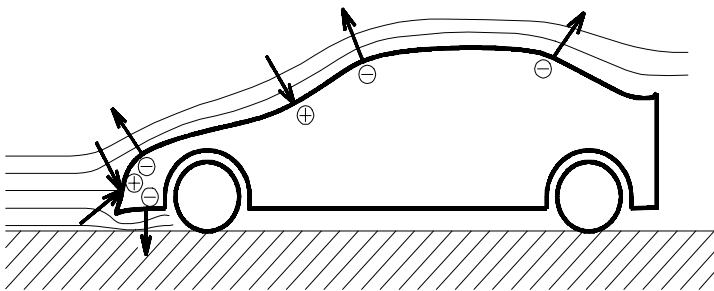
Binormalenrichtung b  $0 = -\frac{1}{\rho} \frac{\partial p}{\partial b} + g_b$

Falls in der Gleichung der Hauptnormalenrichtung  $g_n$  unberücksichtigt ist:

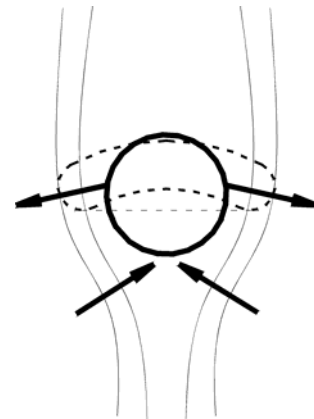
$$\frac{v^2}{R} = \frac{1}{\rho} \frac{\partial p}{\partial h}$$

Folgerungen:

- wenn die Stromlinien parallele Geraden sind ( $R=\infty$ ), verändert sich der Druck senkrecht auf die Stromlinien nicht,
- wenn die Stromlinien gekrümmt sind, nimmt der Druck senkrecht auf die Stromlinien und auswärts vom Krümmungsmittelpunkt zu.



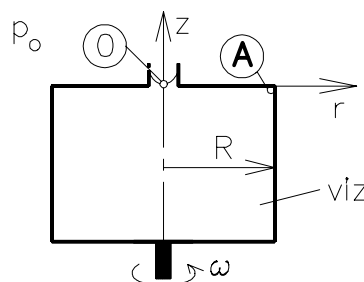
Pkw



Regentropfen

## 6. Anwendungen

### Der rotierende Behälter



In absolutem Koordinatensystem rotiert das Wasser als Starrkörper mit Winkelgeschwindigkeit  $\omega [1/s]$ .

$$p_A - p_0 = ?$$

3 verschiedene Lösungsmöglichkeiten:

- im mitrotierenden Koordinatensystem: Hydrostatik
- im absoluten Koordinatensystem: Bernoulli-Gleichung;
- im absoluten Koordinatensystem: Euler Gleichung in natürlichem Koordinatensystem

$$\text{ad a) } p_A - p_0 = -\rho(U_A - U_0) = -\rho\left(-\frac{R^2\omega^2}{2} - 0\right) = \rho\frac{R^2\omega^2}{2}$$

$$\text{ad b) } \int_0^A \frac{\partial \underline{v}}{\partial t} d\underline{s} + \int_0^A \text{grad} \frac{v^2}{2} d\underline{s} - \int_0^A \underline{v} \times \text{rot} \underline{v} d\underline{s} = \int_0^A \underline{g} d\underline{s} - \int_0^A \frac{1}{\rho} \text{grad} p d\underline{s}.$$

I                    II                    III                    IV                    V

stationäre Strömung: Integral I = 0, Integral II =  $(v_A^2 - v_0^2)/2$ , Integral III  $\neq 0$  da  $\text{rot} \underline{v} \neq 0$  und Punkte 0 und A liegen nicht auf der gleichen Stromlinie. Integral IV = 0, da  $\underline{g} \perp d\underline{s}$  Integral V =  $-(p_A - p_0)/\rho$ , da  $\rho = \text{const.}$

$$p_A - p_0 = \rho \int_0^A \underline{v} \times \text{rot} \underline{v} d\underline{s} - \rho \frac{v_A^2 - v_0^2}{2}.$$

$|\underline{v}| = \omega r$  und  $(\text{rot} \underline{v})_z = dv/dr + v/r \Rightarrow (\text{rot} \underline{v})_z = 2\omega$ .  $\underline{v}$ ,  $\text{rot} \underline{v}$  und  $d\underline{s}$  Vektoren stehen senkrecht aufeinander, und  $|d\underline{s}| = dr$ , weiterhin  $v_A = R\omega$  und  $v_0 = 0$ :

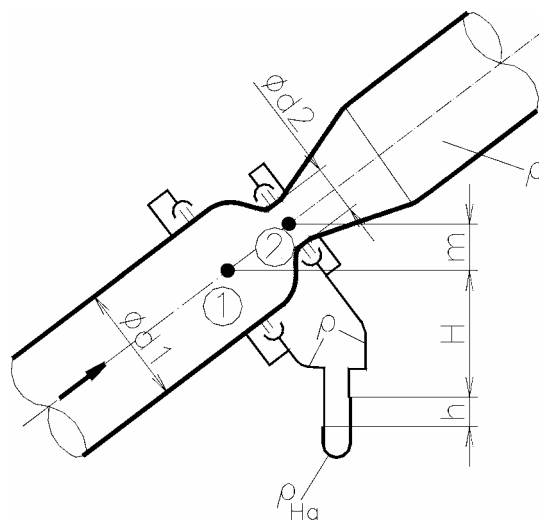
$$p_A - p_0 = \rho \int_0^R (r\omega) 2\omega dr - \rho \frac{R^2\omega^2}{2} = \rho R^2\omega^2 - \rho \frac{R^2\omega^2}{2} = \rho \frac{R^2\omega^2}{2}.$$

$$\text{ad c) } \frac{v^2}{R} = \frac{1}{\rho} \frac{\partial p}{\partial n} - g_n$$

$R = r$ ,  $dn = dr$  (Stromlinien sind konzentrische Kreise),  $g_n = 0$

$$\int_{p_0}^{p_A} dp = \int_0^R \rho \frac{v^2}{r} dr = \int_0^R \rho r \omega^2 dr \Rightarrow p_A - p_0 = \rho \frac{R^2\omega^2}{2}$$

### Messung des Volumenstromes mit Venturi-Rohr



$h [m] = f(q_v) = ?$   $\rho$  und  $\rho_{\text{Hg}}$ : Dichte des Wassers und Quecksilbers

$$\frac{v_1^2}{2} + \frac{p_1}{\rho} + U_1 = \frac{v_2^2}{2} + \frac{p_2}{\rho} + U_2$$

U-Rohr Manometer:

$$p_1 + \rho g(H+h) = p_2 + \rho g(m+H) + \rho_{Hg}gh$$

$$p_1 - p_2 = (\rho_{Hg} - \rho)gh + \rho gm.$$

$$\frac{v_2^2}{2} - \frac{v_1^2}{2} = \frac{v_1^2}{2} \left[ \left( \frac{v_2^2}{v_1^2} \right) - 1 \right] = \frac{p_1 - p_2}{\rho} - gm = \frac{\rho_{Hg} - \rho}{\rho} gh$$

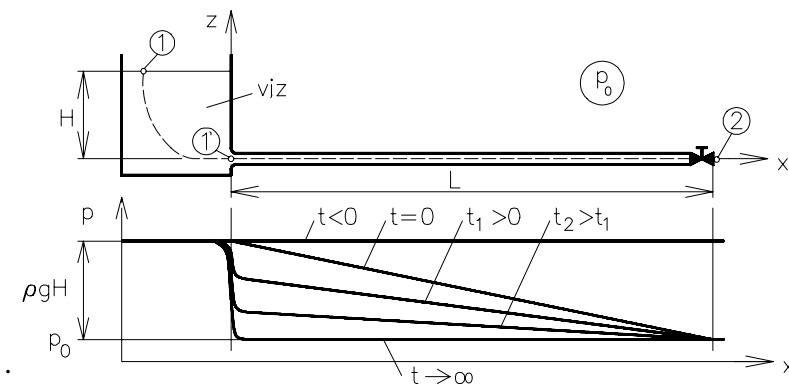
Kontinuitätsgleichung:

$$v_1 A_1 = v_2 A_2 \Rightarrow v_2 / v_1 = (d_1 / d_2)^2$$

$$v_1 = \sqrt{\frac{\left( \frac{\rho_{Hg} - \rho}{\rho} \right) 2 gh}{\left( \frac{d_1}{d_2} \right)^4 - 1}}$$

Volumenstrom:  $q_v = \frac{d_1^2 \pi}{4} v_1 = K \sqrt{h}$

### Instationärer Ausfluss aus einem Behälter



$$\int_1^2 \frac{\partial \underline{v}}{\partial t} d\underline{s} + \int_1^2 \text{grad} \frac{v^2}{2} d\underline{s} - \int_1^2 \underline{v} \times \text{rot} \underline{v} d\underline{s} = \int_1^2 \underline{g} d\underline{s} - \int_1^2 \frac{1}{\rho} \text{grad} p d\underline{s}$$

I            II            III            IV            V

$$\int_1^2 \frac{\partial \underline{v}}{\partial t} d\underline{s} + \left[ \frac{v^2}{2} + \frac{p}{\rho} + U \right]_1^2 = 0$$

In Punkt 1  $p_1 = p_0$ ,  $z = H$ ,  $v = 0$ . In Punkt 2  $p_2 = p_0$ ,  $z = 0$ , die Geschwindigkeit ist  $v_2 = v(t)$ .

$$\int_1^2 \frac{\partial \underline{v}}{\partial t} d\underline{s} = \int_1^1 \frac{\partial \underline{v}}{\partial t} d\underline{s} + \int_1^2 \frac{\partial \underline{v}}{\partial t} d\underline{s}.$$

wo  $\partial \underline{v} / \partial t$  ist der Beschleunigungsvektor,  $|\partial \underline{v} / \partial t|$  ist mit  $a$  bezeichnet,  $\partial \underline{v} / \partial t \parallel d\underline{s}$ , die Vektoren  $\partial \underline{v} / \partial t$  und  $d\underline{s}$  zeigen in die gleiche Richtung.

$$v_1 A_1 = v_2 A_2 \Rightarrow a_1 A_1 = a_2 A_2$$

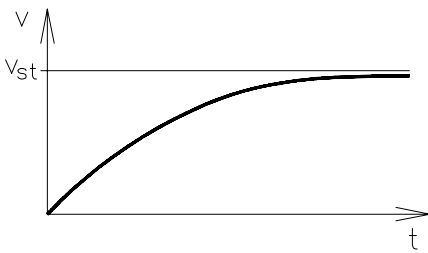
$$\int_1^2 \frac{\partial v}{\partial t} ds = \int_1^2 a ds = aL$$

$$\frac{dv}{dt} L + \frac{v^2}{2} + \frac{p_0}{\rho} = \frac{p_0}{\rho} + gH$$

Im Falle stationärer Strömung ( $\frac{dv}{dt} = 0$ )  $\frac{v_{st}^2}{2} = gH$

$$\frac{dv}{v_{st}^2 - v^2} = \frac{dt}{2L} \cdot \int_0^{v_{st}} \frac{d \frac{v}{v_{st}}}{1 - \left(\frac{v}{v_{st}}\right)^2} = \frac{v_{st}}{2L} \int_0^t dt.$$

$$\operatorname{arth} \frac{v}{v_{st}} = \frac{tv_{st}}{2L} \quad \tau = \frac{2L}{v_{st}} \quad \boxed{\frac{v}{v_{st}} = \operatorname{th} \frac{t}{\tau}} \quad \text{wo } v_{st} = \sqrt{2gH}.$$



## Schwimmen von Körpern

Volumen des Körpers:  $\Delta V$ , die Druckverteilung in der Flüssigkeit ist durch  $\text{grad } p$  charakterisiert.

Druckkraft:  $\Delta \underline{F} \cong -\text{grad } p \Delta V$ ,  $\Delta \underline{F} = -\rho \underline{g} \Delta V$ .

Der hydrostatische Auftrieb im Schwerfeld = Gewicht der verdrängten Flüssigkeit.

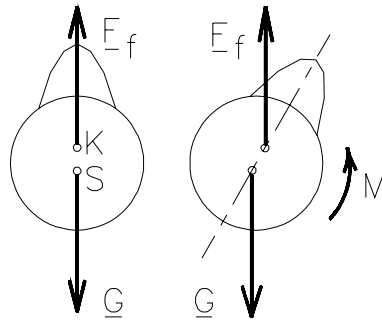
Der hydrostatische Auftriebsvektor passiert den Mittelpunkt des verdrängten Volumens.

Ein Körper schwimmt, wenn seine Durchschnittsdichte ist gleich oder kleiner als die Dichte der Flüssigkeit.

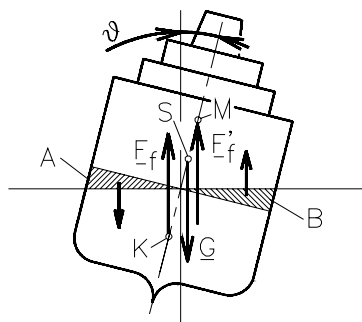
Stabilität des schwimmenden Körpers: Unterseeboote und Schiffe.

Wenn der Schwerpunkt  $S$  unter dem Mittelpunkt des verdrängten Volumens  $K$  liegt, entsteht ein Drehmoment  $M$ , das den Neigungswinkel reduziert. Das U-Boot ist in stabilem Zustand.





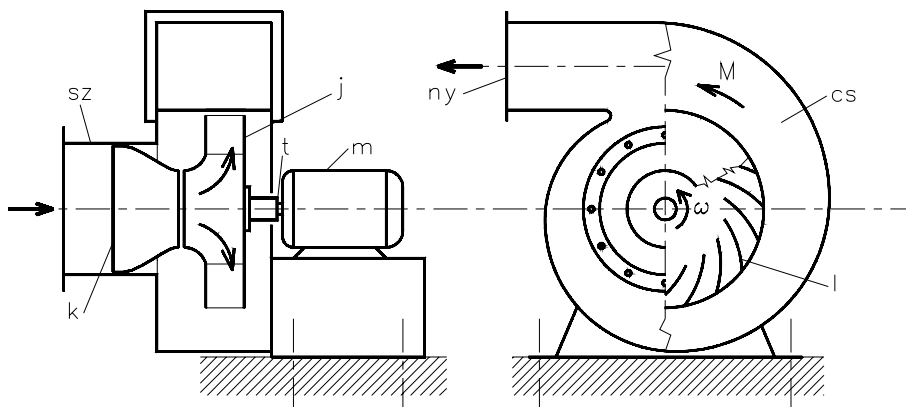
Falls ein Drehmoment  $M$  entsteht, das den Neigungswinkel reduziert, Schiffe können bis einem gewissen Neigungswinkel stabil bleiben auch dann, wenn sich der Schwerpunkt  $S$  über dem Mittelpunkt des verdrängten Volumens  $K$  befindet.



Bei der Neigung des Schiffes verändern sich die Größe des Gewichtes und Auftriebes nicht, aber die Angriffslinie des Auftriebes verschiebt sich. (Als Folge der Neigung taucht ein keilförmiger Teil des Schiffskörpers (A) empor, und Volumen B versinkt. So entsteht ein Kräftepaar, das den Auftriebsvektor verschiebt.)

Die neue Angriffslinie passiert die Symmetrieebene des Schiffes in Punkt  $M$  (Metazentrum). Wenn der Schwerpunkt  $S$  unter dem Metazentrum  $M$  liegt, entsteht ein Drehmoment  $M$ , das den Neigungswinkel reduziert. So ist das Schiff in stabilem Zustand.

## Radialventilator, Eulersche Turbinengleichung



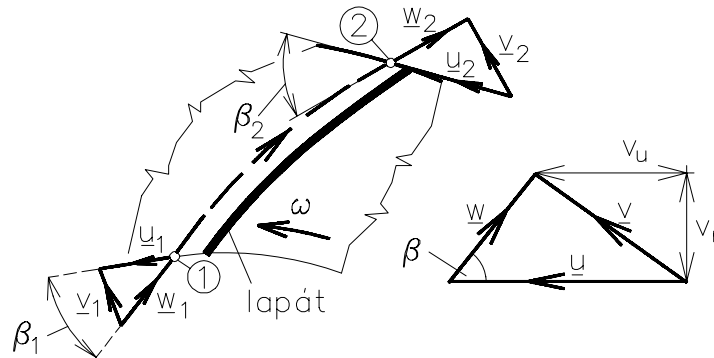
sz: Saugstutzen, k: Saugtrichter, j: Laufwerk, I: Schaufel, cs: Spiralgehäuse, ny: Druckstutzen, t: Achse, m: Elektromotor,  $M$ : Drehmoment,  $\omega$ : Winkelgeschwindigkeit.

Die Aufgabe der Ventilatoren ist den Gesamtdruck des Gases zu erhöhen:

$$\Delta p_g = p_{dg} - p_{sg} = \left( p + \frac{\rho}{2} v^2 \right)_d - \left( p + \frac{\rho}{2} v^2 \right)_s$$

nutzbare Leistung:  $\boxed{P = q_v \Delta p_g}$ , wo  $q_v$  [kg/m<sup>3</sup>] der Volumenstrom ist.

Bernoulli Gleichung im relativen Koordinatensystem (stationäre Strömung inkompressibler und reibungsfreier Fluide) zwischen den Punkten 1 und 2 die auf der gleichen Stromlinie liegen:



$$\int_1^2 \frac{\partial \underline{w}}{\partial t} d\underline{s} + \frac{w_2^2 - w_1^2}{2} - \int_1^2 \underline{w} \times \text{rot} \underline{w} d\underline{s} = \int_1^2 \underline{g} d\underline{s} - \int_1^2 \frac{1}{\rho} \text{grad} p d\underline{s}.$$

I            II            III            IV            V

$$\underline{g} = \underline{g}_c + \underline{g}_{\text{Cor}} = -\text{grad}(U_g + U_c) + 2\underline{w} \times \underline{\omega}, \quad U_g \equiv 0, \quad U_c = -\frac{r^2 \omega^2}{2}$$

$$\int_1^2 \underline{g} d\underline{s} = \left( \frac{r_2^2 \omega^2}{2} - \frac{r_1^2 \omega^2}{2} \right) + \int_1^2 2\underline{w} \times \underline{\omega} d\underline{s},$$

Da  $\underline{v} = \underline{w} + \underline{u}$ , if  $\text{rot} \underline{v} = \underline{0} \Rightarrow \text{rot} \underline{w} = -\text{rot} \underline{u}$ , und  $|\underline{u}| = r\omega$   $\text{rot} \underline{u} = 2\underline{\omega}$ .

$$-\int_1^2 \underline{w} \times \text{rot} \underline{w} d\underline{s} = -\int_1^2 \underline{w} \times (-2\underline{\omega}) d\underline{s} = \int_1^2 2\underline{w} \times \underline{\omega} d\underline{s}$$

Schließlich:

$$\frac{w_1^2}{2} + \frac{p_1}{\rho} - \frac{r_1^2 \omega^2}{2} = \frac{w_2^2}{2} + \frac{p_2}{\rho} - \frac{r_2^2 \omega^2}{2}$$

$$\underline{w} = \underline{v} - \underline{u} \Rightarrow w^2 = v^2 + u^2 - 2\underline{u} \cdot \underline{v}$$

$$\frac{v_2^2}{2} + \frac{u_2^2}{2} - \underline{v}_2 \cdot \underline{u}_2 - \frac{r_2^2 \omega^2}{2} - \frac{v_1^2}{2} - \frac{u_1^2}{2} + \underline{v}_1 \cdot \underline{u}_1 + \frac{r_1^2 \omega^2}{2} + \frac{p_2 - p_1}{\rho} = 0.$$

$$u_1 = r_1 \omega$$

$$\Delta p_g = p_{2g} - p_{1g} = \left( p_2 + \frac{\rho}{2} v_2^2 \right) - \left( p_1 + \frac{\rho}{2} v_1^2 \right) = \rho (\underline{v}_2 \cdot \underline{u}_2 - \underline{v}_1 \cdot \underline{u}_1).$$

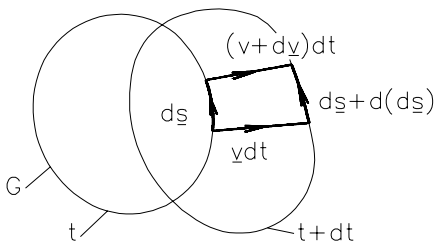
$$\underline{v}_2 \underline{u}_2 = v_{2u} \underline{u}_2,$$

$$\Delta p_{\text{gid}} = \rho(v_{2u} \underline{u}_2 - v_{1u} \underline{u}_1)$$

$$\text{Wenn } \underline{v}_{1u} = 0 \Rightarrow \Delta p_{\text{gid}} = \rho v_{2u} \underline{u}_2.$$

## 7. Wirbelsätze: Thomsonscher Satz und Helmholtzsche Sätze

### Thomsonscher Satz (reibungsfreie Fluiden)



Zirkulation:  $\Gamma = \oint_G \underline{v} \cdot d\underline{s}$ . Zeitliche Veränderung der Zirkulation entlang einer geschlossenen flüssigen

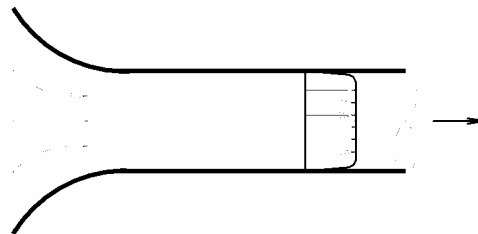
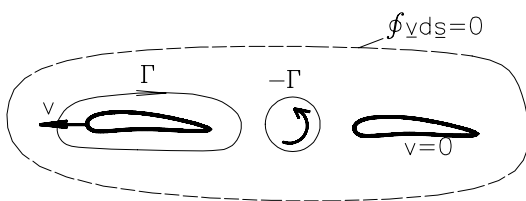
Linie  $\frac{d\Gamma}{dt} = \frac{d}{dt} \oint_G \underline{v} \cdot d\underline{s} = ?$  Falls  $\underline{g} = -\text{grad}U$  und  $\rho = \text{const}$ , oder  $\rho = \rho(p)$ , mit Euler Gleichung:

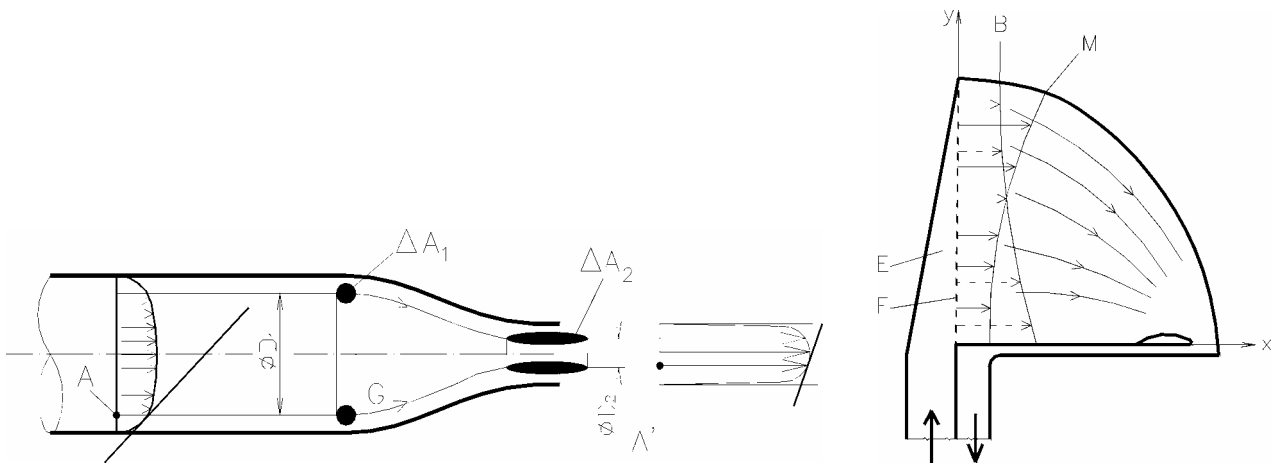
$$\frac{d}{dt} \oint_G \underline{v} \cdot d\underline{s} = 0$$

In der Strömung von reibungsfreien und inkompressiblen Fluiden in potentialem Kraftfeld entsteht keine Rotation.

### Anwendungen:

Anfahr- und Stoppwirbel (Wirbelbildung), Erstellung gleichmäßigeren Geschwindigkeitsverteilungen, Strömung in Wasserbehälter.





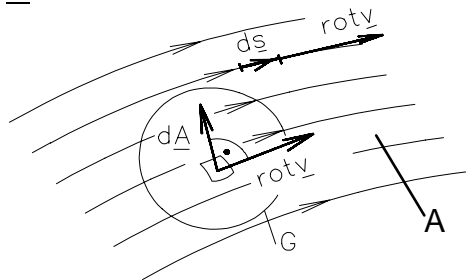
$$\Gamma = \oint_G \underline{v} d\underline{s} = \int_A \text{rot } \underline{v} d\underline{A} \Rightarrow \frac{(\text{rot } \underline{v})_z}{(\text{rot } \underline{v})_1} = \frac{\Delta A_1}{\Delta A_2} = \frac{D_2}{D_1} \cdot (\text{rot } \underline{v})_z = \frac{\partial v_y}{\partial x} - \frac{\partial v_x}{\partial y}, \partial v_y / \partial x < 0 \Rightarrow \partial v_x / \partial y < 0.$$

### I. Helmholtzscher Satz

$$\underline{u} = 0$$

Flüssige Wirbellinie:  $\text{rot } \underline{v} \times d\underline{s} = 0$ ,

Flüssige Wirbelfläche:  $\text{rot } \underline{v} \times d\underline{A} = 0$

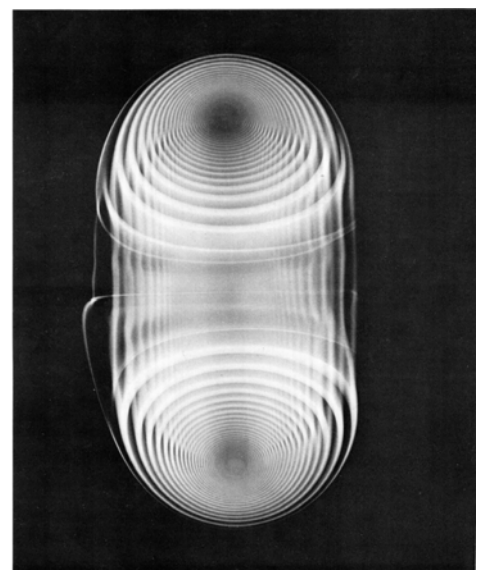


Da  $\frac{d}{dt} \oint_G \underline{v} d\underline{s} = 0$ , eine flüssige Wirbelfläche bleibt Wirbelfläche.

Zwei Wirbelflächen schneiden einander entlang einer Wirbellinie.

**Eine Wirbellinie, die als Schnittlinie zweier Wirbellinien betrachtet werden kann, besteht aus dem gleichen Flüssigkeitsteilchen.**

Konsequenz: Der Wirbel in einem Rauchring oder in einem Rauchfaden eines Schornsteines bewahrt den Rauch.



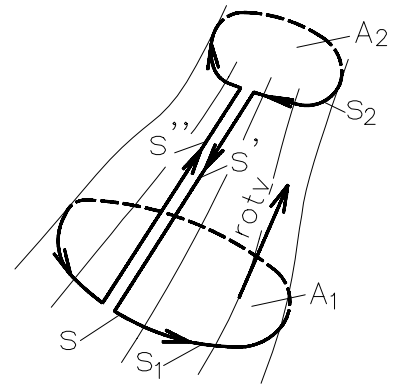
## II. Helmholtzscher Satz

Flüssiges Wirbelrohr (Wirbelfaden)

$$\oint_S \underline{v} d\underline{s} = \oint_{S_1} \underline{v} d\underline{s} + \oint_{S_2} \underline{v} d\underline{s} = 0$$

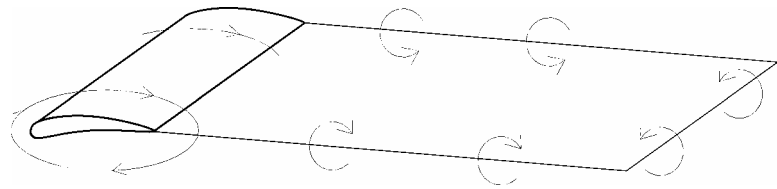
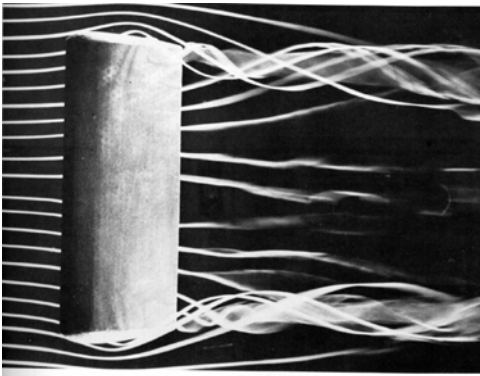
$$\oint_{S_1} \underline{v} d\underline{s} = \oint_{S_2} \underline{v} d\underline{s},$$

$$\int_{A_1} \text{rot} \underline{v} d\underline{A} = \int_{A_2} \text{rot} \underline{v} d\underline{A}.$$



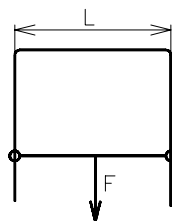
$\int_A \text{rot} \underline{v} d\underline{A}$  ist konstant in allen Querschnitten entlang des Wirbelrohres und verändert sich nicht in der Zeit.

Konsequenz: Das Wirbelrohr ist entweder eine geschlossene Linie (ein Ring) oder es endet an der Grenze des Strömungsfeldes. Andernfalls  $A \Rightarrow 0$ ,  $\text{rot} \underline{v} \Rightarrow \infty$ .

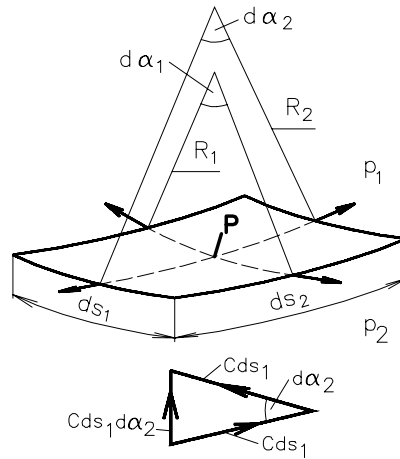


Induzierter Wirbel am Flügelende. Fliegen der Wildgänse in V-Formation.  
Wirbelfaden nach Eröffnung des Ablaufes. Tornado.

## 8. Oberflächenspannung

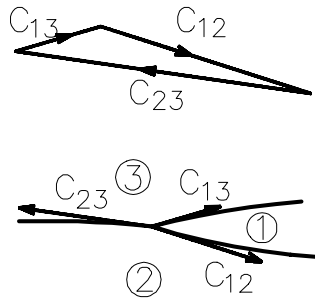


$F = 2LC$ , wo  $C$  [N/m] Kapillarkonstante. For Wasser gegen Luft  $C = 0.072$  [N/m].

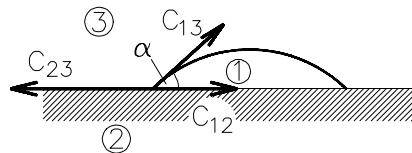


$$(p_1 - p_2)ds_1 ds_2 = Cds_1 d\alpha_2 + Cds_2 d\alpha_1. \quad \Delta p = p_1 - p_2 = C \left( \frac{1}{R_1} + \frac{1}{R_2} \right).$$

Für einen kugelförmigen Tropfen  $R_1 = R_2 = R \Rightarrow \Delta p = 2C/R$ ,  
 für kugelförmige Blase:  $\Delta p = 4C/R$

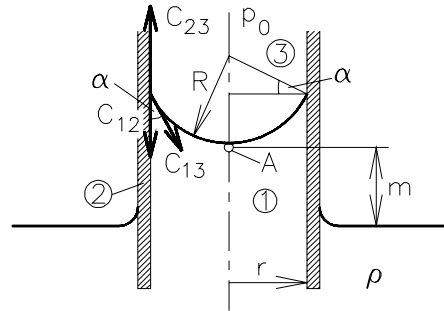


Wenn  $|C_{23}| > |C_{12}| + |C_{13}|$ , die Flüssigkeit 1 breitet sich auf der Oberfläche von Flüssigkeit 2 aus. (z.B. Öl über Wasser).



$C_{23} ds = C_{12} ds + C_{13} \cos \alpha ds. \quad \cos \alpha = (C_{23} - C_{12}) / C_{13}. \quad C_{23} > C_{12} \Rightarrow \alpha < 90^\circ, \quad \alpha > 90^\circ$   
 (Quecksilber) Wenn  $|C_{23}| > |C_{12}| + |C_{13}|$ , die Flüssigkeit breitet sich auf der Oberfläche Des Festkörpers aus. (z.B. Petroleum "kriecht" aus der geöffneten Flasche).

## Kapillarerhebung



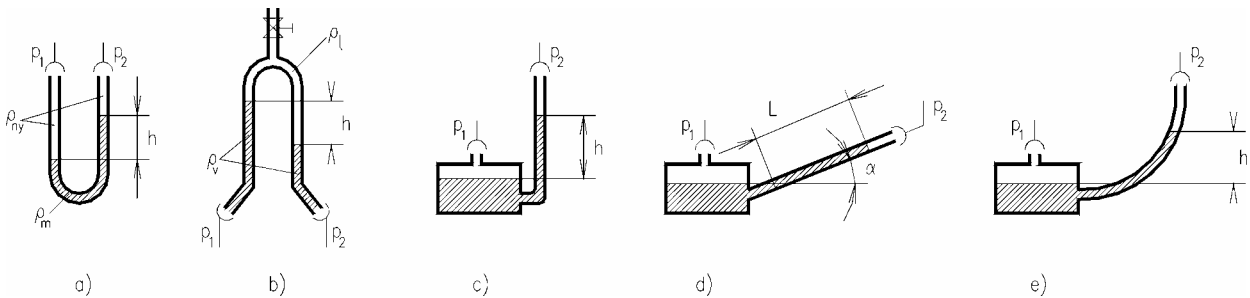
$$p_0 - p_A = 2C_{13} / R = 2C_{13} \cos \alpha / r, \quad p_0 - p_A = \rho g m \quad \boxed{m = \frac{2C_{13} \cos \alpha}{\rho g r}}$$

Bei Quecksilber erfolgt Kapillarsenkung.

## 9. Messungen

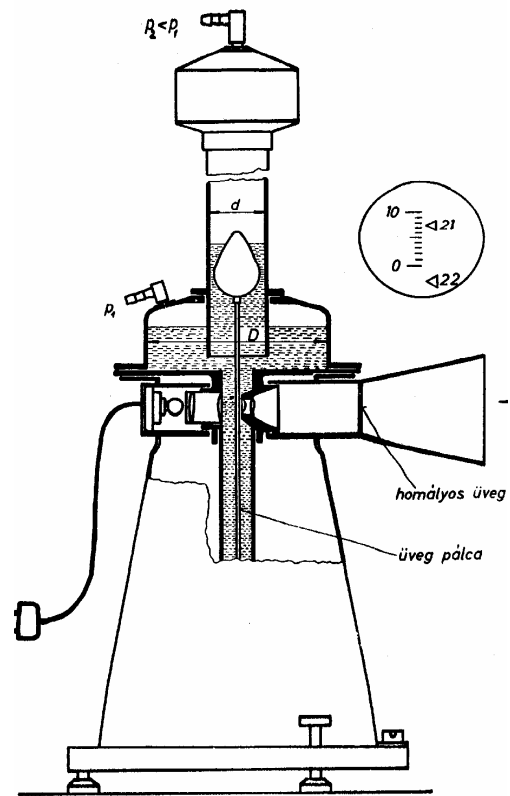
Manometer (für Messung des Druckunterschiedes), Mikromanometer

U-Rohr Manometer  $p_1 - p_2 = (\rho_m - \rho_t) g h$ , "umgekehrtes" U-Rohr Manometer  $p_1 - p_2 = (\rho_w - \rho_a) g h$ ,  
 Schrägrohrmanometer  $L = H / \sin \alpha$ , relativer Fehler:  $e = \Delta s / L = (\Delta s / H) \sin \alpha$ , Mikromanometer mit  
 gekrümmten Rohr ( $e = \text{const.}$ ):

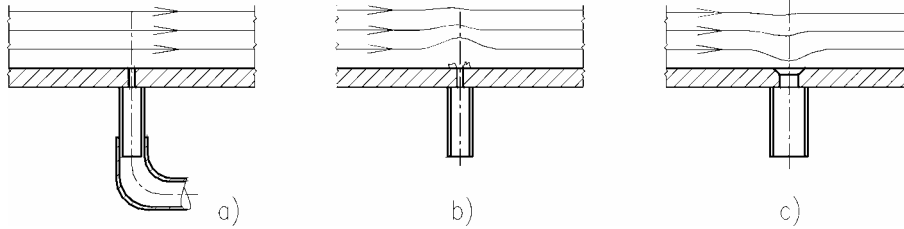


$$p_1 - p_2 = (\rho_m - \rho_t) g h.$$

## Betz-Mikromanometer



## Druckbohrungen – ( b, c falsch)

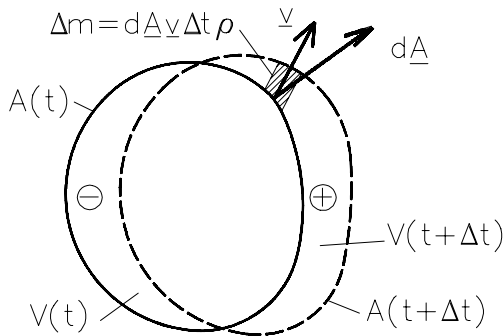




## 10. Der Impulssatz und seine Anwendung

### Der Impulssatz

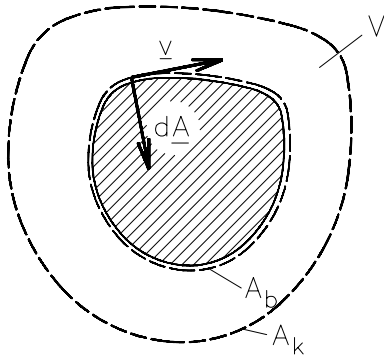
$$\frac{d}{dt} \int_{V(t)} \rho \underline{v} dV = \int_{V(t)} \rho \underline{g} dV - \int_{A(t)} p d\underline{A} \quad \boxed{\underline{u} = 0}$$



$$\frac{d}{dt} \int_{V(t)} \rho \underline{v} dV = \lim_{\Delta t \rightarrow 0} \frac{1}{\Delta t} \left[ \int_{V(t+\Delta t)} (\rho \underline{v})_{t+\Delta t} dV - \int_{V(t)} (\rho \underline{v})_t dV \right]$$

$$\frac{\partial}{\partial t} \int_V (\rho \underline{v}) dV + \int_A \underline{v} \rho (\underline{v} d\underline{A}) = \int_V \rho \underline{g} dV - \int_A p d\underline{A} \quad \text{wo } V \text{ der Kontrollbereich ist.}$$

### Festkörper im Kontrollbereich



$$\frac{\partial}{\partial t} \int_V (\rho \underline{v}) dV + \int_{A_k} \underline{v} \rho (\underline{v} d\underline{A}) + \int_{A_b} \underline{v} \rho (\underline{v} d\underline{A}) = \int_V \rho \underline{g} dV - \int_{A_k} p d\underline{A} - \int_{A_b} p d\underline{A}$$

$$\frac{\partial}{\partial t} \int_V (\rho \underline{v}) dV + \int_A \underline{v} \rho (\underline{v} d\underline{A}) = \int_V \rho \underline{g} dV - \int_A p d\underline{A} - \underline{R}$$

$\underline{R}[\text{N}]$  ist die Kraft die auf den im Kontrollbereich befindlichen Körper wirkt.

Bei stationärer Strömung:

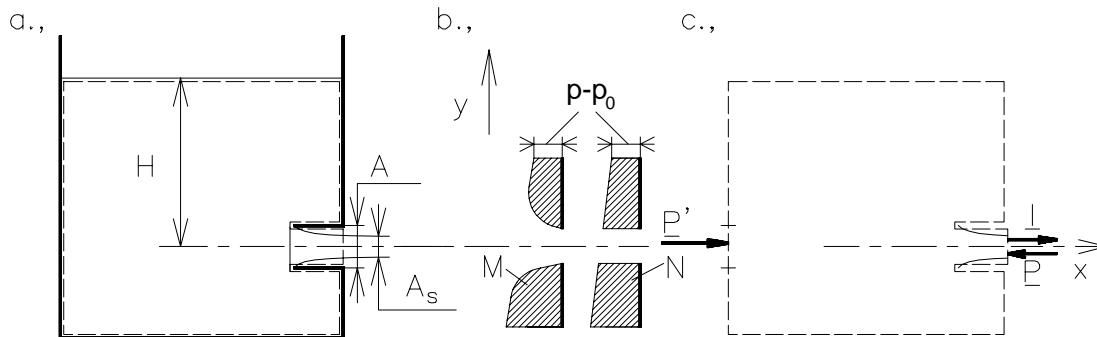
$$\int_A \underline{v} \rho (\underline{v} d\underline{A}) = \int_V \rho \underline{g} dV - \int_A p d\underline{A} - \underline{R}$$



Wenn die Platte sich bewegt:  $\underline{u} > 0$

anstatt  $\underline{v}_1 \quad \underline{w}_1 = \underline{v}_1 - \underline{u} \Rightarrow R = \rho(v_1 - u)^2 A_1$ .

### **Borda-Mündung, Kontraktion des Flüssigkeitstrahles**



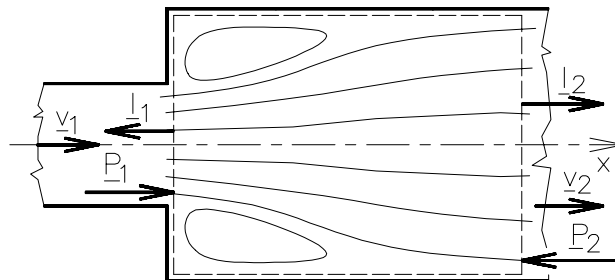
$$\alpha = A_s / A \quad v = \sqrt{2gH} \quad \alpha \text{ Kontraktionsziffer}$$

$$I = P' - P \Rightarrow \rho v^2 A_s = (p_0 + \rho g H) A - p_0 A$$

$$2\rho g H A_s = \rho g H A \Rightarrow \alpha = A_s / A = 0.5$$

### **Plötzliche Querschnittsänderung (Borda-Carnot-Übergang)**

Druckveränderung in einem plötzlichen Borda-Carnot Übergang.



$$-I_1 + I_2 = P_1 - P_2, \quad -\rho v_1^2 A_1 + \rho v_2^2 A_2 = -p_2 A_2 + p_1 A_2.$$

$$\rho v_1 A_1 = \rho v_2 A_2, \quad (p_2 - p_1)_{BC} = \rho v_2 (v_1 - v_2), \quad (p_2 - p_1)_{id} = \frac{\rho}{2} (v_1^2 - v_2^2)$$

$$\Delta p'_{BC} = (p_2 - p_1)_{id} - (p_2 - p_1)_{BC} = \frac{\rho}{2} (v_1^2 - v_2^2) - \rho v_2 (v_1 - v_2)$$

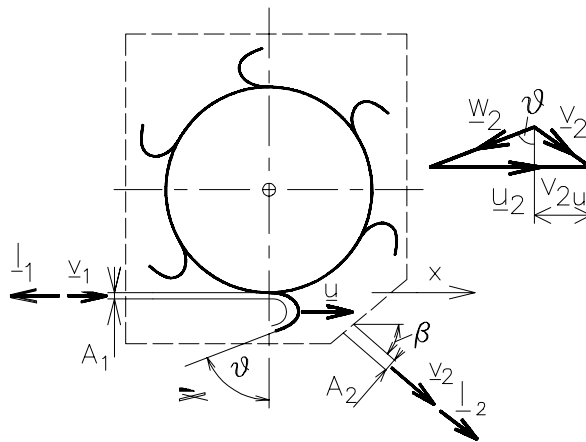
### Carnotsche Stoßverlust

$$\Delta p'_{BC} = \frac{\rho}{2} (v_1 - v_2)^2$$

### Die auf Borda-Carnot Erweiterung wirkende Kraft

$$\underline{R} = (p_0 - p_1)(A_2 - A_1) = \rho v_2 (v_1 - v_2)(A_2 - A_1)$$

### Die Pelton-Turbine



$$-I_1 + I_{2u} = -R_u, \quad I_1 = \rho v_1^2 A_1, I_{2u} = \rho v_2^2 A_2 \cos \beta, \quad \rho v_1 A_1 = \rho v_2 A_2$$

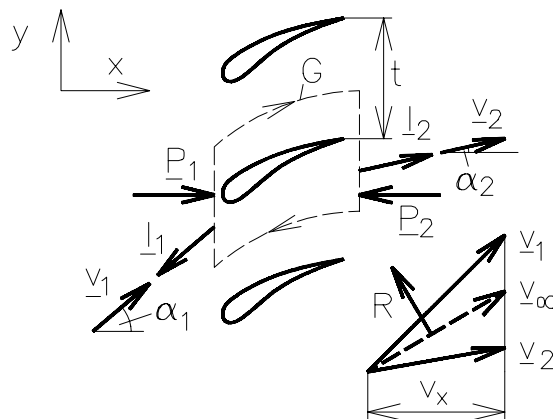
$$R_u = \rho v_1 A_1 (v_1 - v_{2u}), \quad \text{wo } v_{2u} = v_2 \cos \beta$$

$$v_{2u} = u - w_2 \sin \vartheta, \quad w_2 = w_1, \quad w_1 = v_1 - u, \quad R_u = \rho v_1 A_1 (v_1 - u)(1 + \sin \vartheta)$$

$$R_u = \rho v_1 A_1 (v_1 - u)(1 + \sin \vartheta), \quad \vartheta = 90^\circ \quad \frac{\partial P}{\partial u} = 2\rho v_1 A_1 [(v_1 - u) - u] = 0, \quad u = v_1 / 2$$

$$P_{\max} = \rho v_1 A_1 v_1^2 / 2$$

### Die auf ein Element des unendlichen Flügelgitters wirkende Kraft, Satz von Kutta und Joukovsky



$$-I_{1x} + I_{2x} = P_1 - P_2 - R_x, \quad -I_{1y} + I_{2y} = -R_y$$

$$I_1 = \rho v_x t v_1, \quad I_2 = \rho v_x t v_2, \quad P_1 = p_1 t \quad P_2 = p_2 t,$$

$$R_x = (p_1 - p_2)t + \rho v_x t (v_1 \cos \alpha_1 - v_2 \cos \alpha_2) \Rightarrow R_y = \rho v_x t (v_{1y} - v_{2y}).$$

$$v_{1x} = v_{2x} \Rightarrow p_1 - p_2 = \frac{\rho}{2}(v_1^2 - v_2^2) = \frac{\rho}{2}(v_{2y}^2 - v_{1y}^2) \Rightarrow R_x = \frac{\rho}{2}(v_{2y} - v_{1y})(v_{2y} + v_{1y})$$

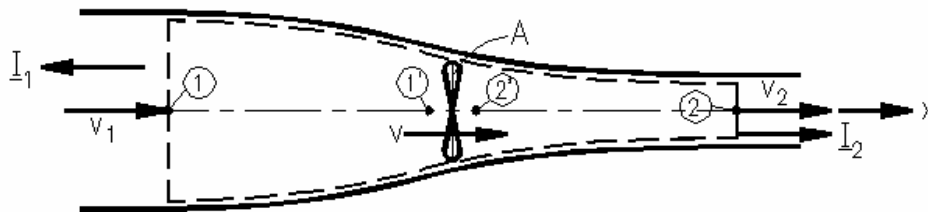
$$\Gamma = t(v_{1y} - v_{2y}) \Rightarrow R_x = -\rho\Gamma \frac{v_{1y} + v_{2y}}{2}, \quad R_y = \rho\Gamma v_x,$$

$$|\underline{R}| = \sqrt{R_x^2 + R_y^2} = \rho\Gamma \sqrt{v_x^2 + \left(\frac{v_{1y} + v_{2y}}{2}\right)^2} \Rightarrow |\underline{R}| = \rho|\underline{v}_\infty| \Gamma \text{ [N/m]}$$

$$t \rightarrow \infty, \quad v_{1y} - v_{2y} \rightarrow 0 \quad \Gamma = t(v_{1y} - v_{2y}) = \text{áll.} \quad \underline{v}_2 \rightarrow \underline{v}_1 \rightarrow \underline{v}_\infty$$

$$\boxed{|\underline{R}| = \rho|\underline{v}_\infty| \Gamma \text{ [N/m]}} \quad \text{Satz von Kutta und Joukovsky}$$

### Der Propeller



$$v_1 = u, \text{ Geschwindigkeit } v_1 \Rightarrow v_2$$

$$\frac{\partial}{\partial t} \int_V (\rho \underline{v}) dV + \int_A \underline{v} \rho (\underline{v} d\underline{A}) = \int_V \rho \underline{g} dV - \int_A p d\underline{A} - \underline{R} + \underline{S}$$

I                  II                  III                  IV    V    VI

$$-I_1 + I_2 = -R_x \Rightarrow R_x = \rho v_1^2 A_1 - \rho v_2^2 A_2$$

$$\text{Mit Verwendung der Kontinuität: } R_x = \rho v A (v_1 - v_2)$$

Bernoulli-Gleichung 1 - 1' und 2' - 2

$$\frac{v_1^2}{2} + \frac{p_1}{\rho} = \frac{v_{1'}^2}{2} + \frac{p_{1'}}{\rho} \quad \frac{v_{2'}^2}{2} + \frac{p_{2'}}{\rho} = \frac{v_2^2}{2} + \frac{p_2}{\rho}.$$

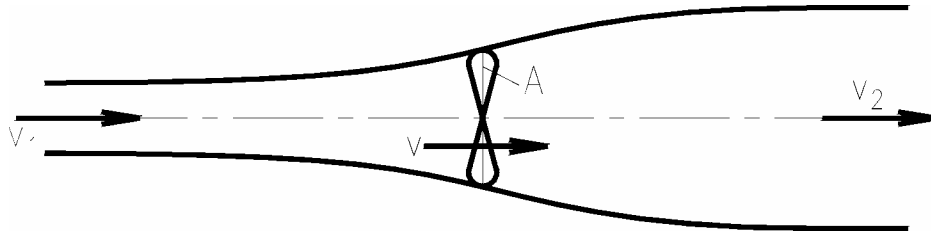
$$\text{Da } p_1 = p_2 \text{ und } v_{1'} = v_{2'} = v \quad p_{1'} - p_{2'} = \frac{\rho}{2}(v_1^2 - v_2^2) \quad .$$

$$R_x = \frac{\rho}{2}(v_1^2 - v_2^2)A = \rho v A (v_1 - v_2), \quad v = \frac{v_1 + v_2}{2} \Rightarrow R_x = \frac{\rho}{2}(v_1^2 - v_2^2)A$$

$P_u = v_1 R$  ist die Nutzleistung,  $P_i = v R$  ist die eingeführte Leistung

$$\eta_p = \frac{v_1 R}{v R} = \frac{v_1}{v} = \frac{2}{1 + v_2/v_1} : \text{ der Propulsionswirkungsgrad.}$$

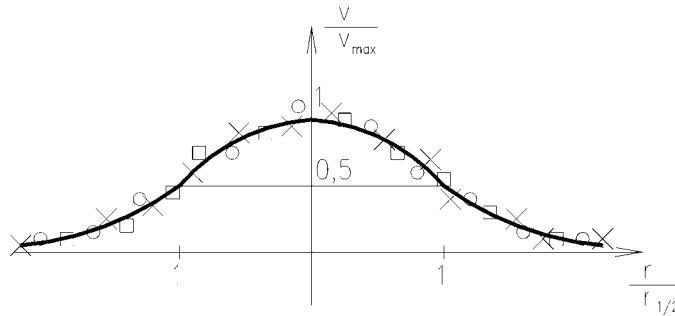
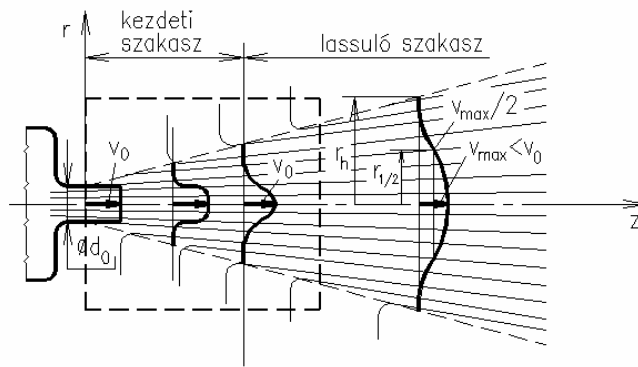
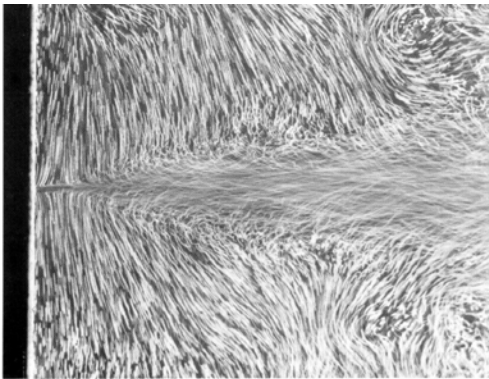
**Windmotor, Windgenerator**



$$P = \rho A \frac{v_1 + v_2}{2} (v_1^2 - v_2^2) \Rightarrow \text{maximale Nutzleistung } \partial P / \partial v_2 = 0$$

$$\Rightarrow v_2 = \frac{1}{3} v_1 \Rightarrow P = \frac{16}{27} \rho A v_1^3$$

**Strahlen**



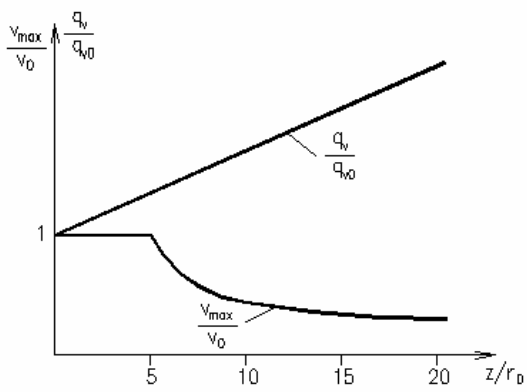
$$r_h \sim z, \quad r_{1/2} = k_1 z,$$

$$r_{1/2}/r_0 = k_1 z/r_0$$

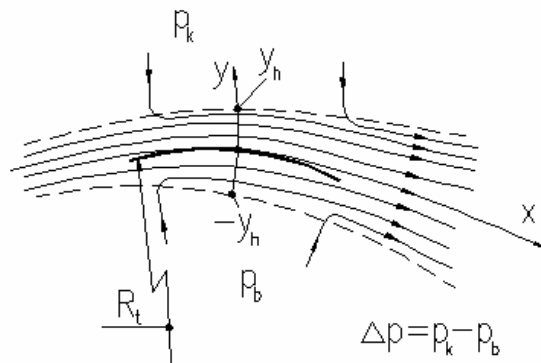
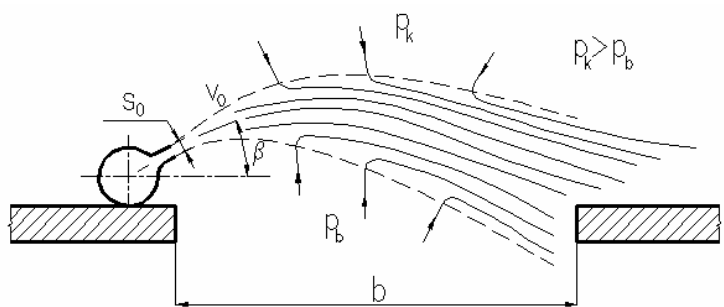
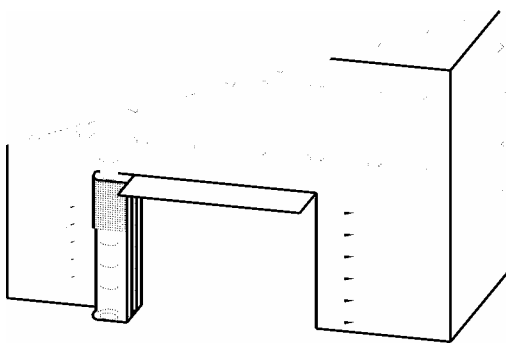
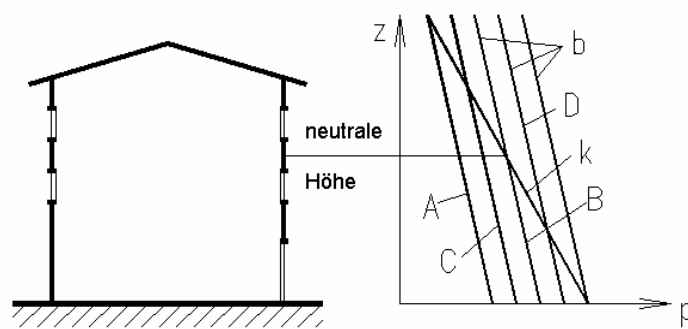
$$\int_A \underline{v} \rho (\underline{v} dA) = 0 \Rightarrow \rho v_0^2 r_0^2 \pi = \int_A \rho v^2 2r \pi dr \Rightarrow v_0^2 r_0^2 = v_{max}^2 r_{1/2}^2 2 \int_0^{r_h/r_{1/2}} \frac{v^2}{v_{max}^2} \frac{r}{r_{1/2}} d \frac{r}{r_{1/2}}$$

$$\frac{v_{max}}{v_0} = \frac{\text{const}}{\frac{r_{1/2}}{r_0}} \Rightarrow \frac{v_{max}}{v_0} = \frac{\text{const}'}{\frac{z}{r_0}}$$

$$q_v = \int_0^{r_h} 2r \pi v dr = v_{max} r_{1/2}^2 2\pi \int_0^{r_h/r_{1/2}} \frac{v}{v_{max}} \frac{r}{r_{1/2}} d \frac{r}{r_{1/2}} \Rightarrow \frac{q_v}{q_{v0}} = \text{const} \frac{v_{max}}{v_0} \frac{r_{1/2}^2}{r_0^2} \Rightarrow \frac{q_v}{q_{v0}} = \text{const}' \frac{z}{r_0}$$

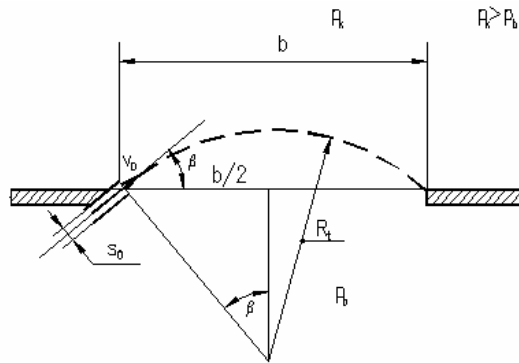


**Luftschleier**



$$\frac{v^2}{R} = \frac{1}{\rho} \frac{\partial p}{\partial n} \Rightarrow \int_{p_b}^{p_k} dp = \int_{-y_h}^{y_h} \rho \frac{v^2}{R} dy \Rightarrow \Delta p = p_k - p_b = \frac{1}{R} \int_{-y_h}^{y_h} \rho v^2 dy \Rightarrow \rho v_0^2 s_0 = \int_{-y_h}^{y_h} \rho v^2 dy$$

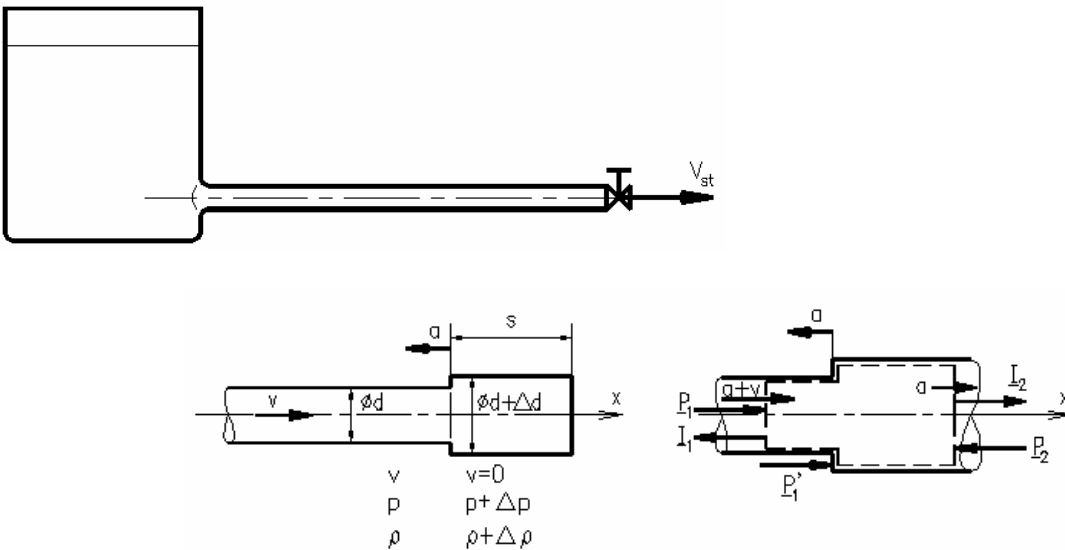
$$\Delta p = \frac{\rho v_0^2 s_0}{R} \Rightarrow R = \frac{\rho v_0^2 s_0}{\Delta p}$$



$$b = 2 R_t \sin \beta. \quad b = 2 \frac{\rho v_0^2 s_0}{\Delta p} \sin \beta, \quad B = \frac{b}{s_0}, \quad D = \frac{\Delta p}{\frac{\rho}{2} v_0^2}, \quad B = \frac{K}{D} \sin \beta$$

teoretisch:  $K=4$ , experimentell:  $K=1.71+0.0264 B$  ( $25 \leq \beta^0 \leq 45$  and  $10 \leq B \leq 40$ )

**Allievische Theorie**



Rohrdurchmesser  $d \Rightarrow d + \Delta d$

Verkürzung der Wassersäule: durch Zusammendrückung des Wassers:  $\Delta s_1$  und durch Dehnung der Rohrwand:  $\Delta s_2 \Rightarrow \Delta s = \Delta s_1 + \Delta s_2$

$$\Delta s_1 = \frac{\Delta p}{E_v} s, \quad E_v = 2.1 \cdot 10^9 \text{ Pa}, \quad \Delta s_2 \frac{d^2 \pi}{4} = s d \pi \frac{\Delta d}{2} \quad \Delta \sigma = \frac{\Delta p d}{2 \delta}; \quad \frac{\Delta d}{d} = \frac{\Delta \sigma}{E_a} = \frac{\Delta p d}{2 \delta E_a}$$

$$E_{st} = 2 \cdot 10^{11} \text{ Pa} \Rightarrow \Delta s_2 = \frac{\Delta p d}{\delta E_a} s \Rightarrow \frac{\Delta s}{s} = \frac{\Delta s_1}{s} + \frac{\Delta s_2}{s} = \Delta p \left( \frac{1}{E_v} + \frac{d}{\delta E_a} \right) = \frac{\Delta p}{E_r}$$

Impulssatz:

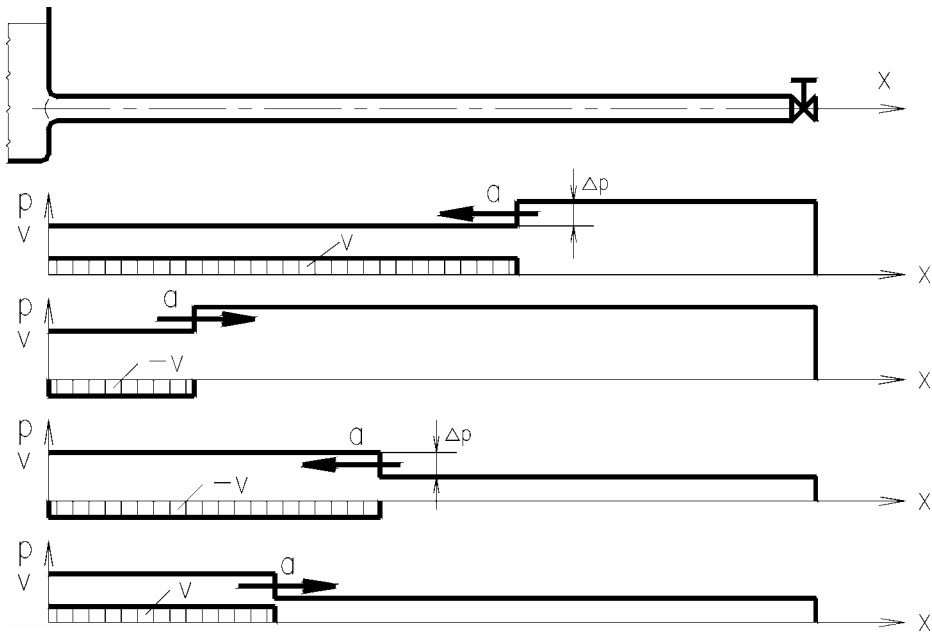
$$-\rho(a+v)A(a+v) + (\rho + \Delta \rho) a (A + \Delta A) a = pA + (\rho + \Delta \rho) \Delta A - (\rho + \Delta \rho)(A + \Delta A),$$

Kontinuität:  $\rho(a+v)A = (\rho + \Delta \rho)a(A + \Delta A)$

$$\Delta p = \rho v(a+v) \quad v \ll a \quad \Delta p = \rho v a \quad T_t \leq \frac{2L}{a} \quad \text{die Zeit der Rückkehr der Druckwelle}$$

$$s = at \Rightarrow A \Delta s = A \frac{\Delta p}{E_r} s = A \frac{\Delta p}{E_r} at \Rightarrow \frac{\Delta p}{E_r} a = v \quad a = \sqrt{\frac{E_r}{\rho}}$$





## 11. Strömung von reibungsbehaftete (viskose) Fluiden

### Rheologie (Fließkunde)

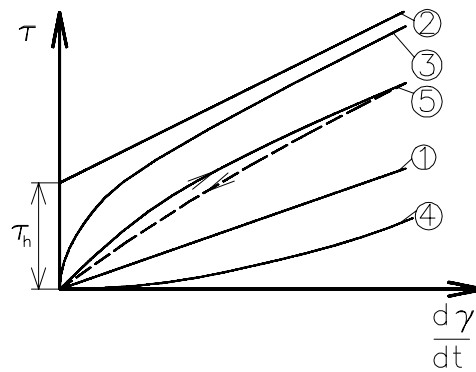
Der Zusammenhang zwischen Schubspannung und Deformationsgeschwindigkeit

Kurve 1: Newtonsche Flüssigkeiten:  $\tau_{yx} = \mu \frac{dv_x}{dy} = \mu \frac{d\gamma}{dt}$ .

Nicht-Newtonsche Flüssigkeiten:

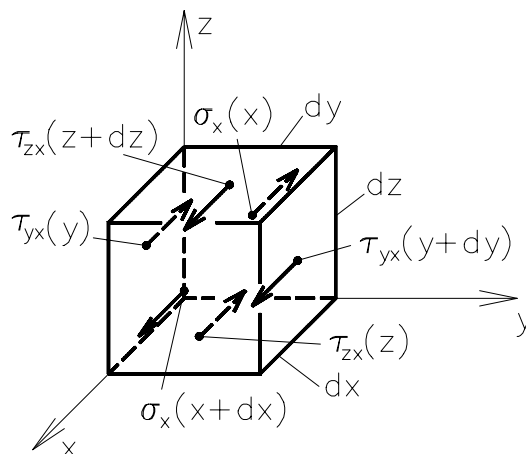
Kurve 2:  $\tau = \tau_h + \mu_\infty \frac{d\gamma}{dt}$ , plastische Flüssigkeit

Kurven 3 and 4:  $\tau = k(d\gamma/dt)^n$ .



### Bewegungsgleichung

$\frac{dv}{dt} = \underline{g} + \underline{F}$ , Bei reibungsfreien Flüssigkeiten:  $\underline{F} = -\frac{1}{\rho} \text{grad}p$



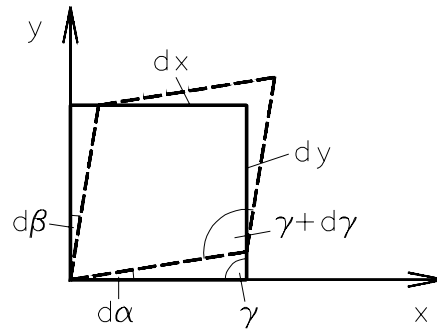
$$F_x = \frac{1}{\rho dx dy dz} \left\{ [\sigma_x(x+dx) - \sigma_x(x)] dy dz + [\tau_{yx}(y+dy) - \tau_{yx}(y)] dx dz + [\tau_{zx}(z+dz) - \tau_{zx}(z)] dx dy \right\}$$

$$\text{Da } \sigma_x(x+dx) = \sigma_x(x) + \frac{\partial \sigma_x}{\partial x} dx \Rightarrow F_x = \frac{1}{\rho} \left( \frac{\partial \sigma_x}{\partial x} + \frac{\partial \tau_{yx}}{\partial y} + \frac{\partial \tau_{zx}}{\partial z} \right)$$

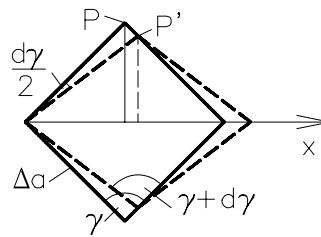
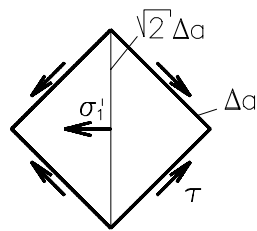
$$\underline{\Phi} = \begin{bmatrix} \sigma_x & \tau_{yx} & \tau_{zx} \\ \tau_{xy} & \sigma_y & \tau_{zy} \\ \tau_{xz} & \tau_{yz} & \sigma_z \end{bmatrix} \quad \underline{F} = \frac{1}{\rho} \underline{\Phi} \underline{\nabla} \Rightarrow \underline{\nabla} = \frac{\partial}{\partial x} \mathbf{i} + \frac{\partial}{\partial y} \mathbf{j} + \frac{\partial}{\partial z} \mathbf{k} \quad \boxed{\frac{d\underline{v}}{dt} = \underline{g} + \frac{1}{\rho} \underline{\Phi} \underline{\nabla}}$$

$$\frac{\partial v_x}{\partial t} + v_x \frac{\partial v_x}{\partial x} + v_y \frac{\partial v_x}{\partial y} + v_z \frac{\partial v_x}{\partial z} = g_x + \frac{1}{\rho} \left( \frac{\partial \sigma_x}{\partial x} + \frac{\partial \tau_{yx}}{\partial y} + \frac{\partial \tau_{zx}}{\partial z} \right)$$

### Zusammenhang zwischen Spannungen und Deformationen



$$d\gamma = d\alpha + d\beta = \frac{\partial v_y}{\partial x} dt + \frac{\partial v_x}{\partial y} dt. \quad \tau_{xy} = \mu \left( \frac{\partial v_y}{\partial x} + \frac{\partial v_x}{\partial y} \right) = \tau_{yx}. \quad p = -\frac{1}{3} (\sigma_x + \sigma_y + \sigma_z).$$



$$\sigma'_{ix} = \mu \frac{d\gamma}{dt} = 2\mu \frac{\partial v_x}{\partial x}$$

$$\sigma_x = -p + 2\mu \frac{\partial v_x}{\partial x} - \frac{2}{3} \mu \text{div} \underline{v}.$$

$$\frac{\partial v_x}{\partial t} + v_x \frac{\partial v_x}{\partial x} + v_y \frac{\partial v_x}{\partial y} + v_z \frac{\partial v_x}{\partial z} = g_x - \frac{1}{\rho} \frac{\partial p}{\partial x} + \frac{1}{\rho} \left\{ \frac{\partial}{\partial x} \left[ 2\mu \frac{\partial v_x}{\partial x} - \frac{2}{3} \mu \text{div} \underline{v} \right] + \frac{\partial}{\partial y} \left[ \mu \left( \frac{\partial v_y}{\partial x} + \frac{\partial v_x}{\partial y} \right) \right] + \frac{\partial}{\partial z} \left[ \mu \left( \frac{\partial v_x}{\partial z} + \frac{\partial v_z}{\partial x} \right) \right] \right\}.$$

### **Navier-Stokes-Gleichung**

$\mu = \text{const.}$  and  $\rho = \text{const.}$

$$\begin{aligned} \frac{\partial v_x}{\partial t} + v_x \frac{\partial v_x}{\partial x} + v_y \frac{\partial v_x}{\partial y} + v_z \frac{\partial v_x}{\partial z} &= g_x - \frac{1}{\rho} \frac{\partial p}{\partial x} + \nu \left( \frac{\partial^2 v_x}{\partial x^2} + \frac{\partial^2 v_x}{\partial y^2} + \frac{\partial^2 v_x}{\partial z^2} \right) \\ \frac{\partial v_y}{\partial t} + v_x \frac{\partial v_y}{\partial x} + v_y \frac{\partial v_y}{\partial y} + v_z \frac{\partial v_y}{\partial z} &= g_y - \frac{1}{\rho} \frac{\partial p}{\partial y} + \nu \left( \frac{\partial^2 v_y}{\partial x^2} + \frac{\partial^2 v_y}{\partial y^2} + \frac{\partial^2 v_y}{\partial z^2} \right) \\ \frac{\partial v_z}{\partial t} + v_x \frac{\partial v_z}{\partial x} + v_y \frac{\partial v_z}{\partial y} + v_z \frac{\partial v_z}{\partial z} &= g_z - \frac{1}{\rho} \frac{\partial p}{\partial z} + \nu \left( \frac{\partial^2 v_z}{\partial x^2} + \frac{\partial^2 v_z}{\partial y^2} + \frac{\partial^2 v_z}{\partial z^2} \right) \end{aligned}$$

$$\frac{\partial v_x}{\partial x} + \frac{\partial v_y}{\partial y} + \frac{\partial v_z}{\partial z} = 0$$

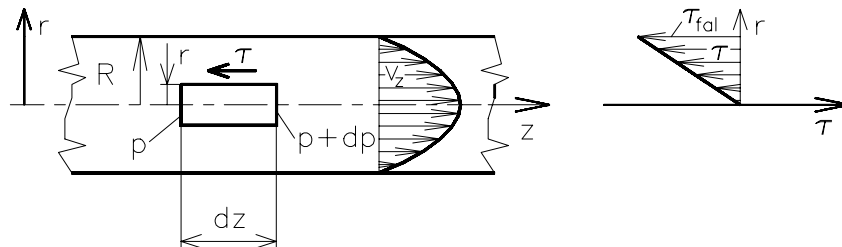
$$\frac{d\mathbf{v}}{dt} = \frac{\partial \mathbf{v}}{\partial t} + \text{grad} \frac{v^2}{2} - \mathbf{v} \times \text{rot} \mathbf{v} = \underline{\mathbf{g}} - \frac{1}{\rho} \text{grad} p + \nu \Delta \mathbf{v} \quad \text{Navier-Stokes-Gleichung}$$

$$\Delta \mathbf{v} = \text{grad} \text{div} \mathbf{v} - \text{rot} \text{rot} \mathbf{v}.$$

Da  $\text{div} \mathbf{v} = 0$   $\frac{d\mathbf{v}}{dt} = \underline{\mathbf{g}} - \frac{1}{\rho} \text{grad} p - \nu \text{rot} \text{rot} \mathbf{v}$  wenn  $\text{rot} \text{rot} \mathbf{v} = 0$ , (z.B. weil  $\text{rot} \mathbf{v} = 0$  ist) spielt die Viskosität keine Rolle.

### Ausgebildete laminare Rohrströmung (Hagen-Poiseuille Strömung)

Rotationssymmetrische, ausgebildete Rohrströmung:  $v_r = 0$ ,  $\frac{\partial(\quad)}{\partial z} = 0$  (2D Strömung)



$$r^2 \pi p - r^2 \pi (p + dp) + 2r \pi dz \tau = 0 \Rightarrow 2\tau dz = r dp \Rightarrow \tau = \frac{1}{2} r \frac{dp}{dz} = \mu \frac{dv_z}{dr}$$

$$dp/dz = \text{const.}$$

$$\int dv_z = \frac{1}{2\mu} \frac{dp}{dz} \int r dr \Rightarrow v_z = \frac{1}{4\mu} \frac{dp}{dz} r^2 + \text{all.}$$

$$\text{Wenn } r=R \Rightarrow v_z = 0 \quad v_z = -\frac{1}{4\mu} \frac{dp}{dz} [R^2 - r^2] \Rightarrow v_z > 0 \text{ if } \frac{dp}{dz} < 0$$

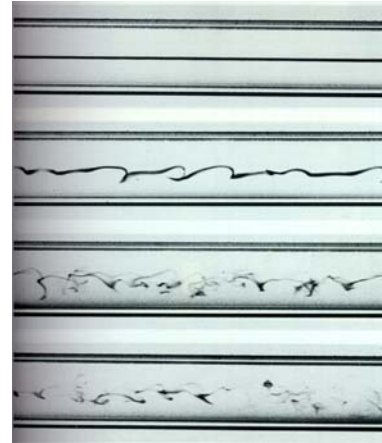
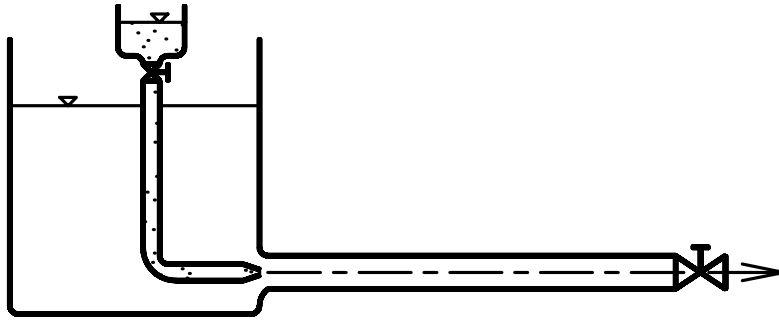
$$\text{Reibungsverlust über } l: \Delta p' [\text{Pa}] \Rightarrow \frac{dp}{dz} = -\frac{\Delta p'}{l} \Rightarrow v_z = \frac{\Delta p'}{4\mu l} [R^2 - r^2] \Rightarrow \tau = -\frac{\Delta p'}{2l} r$$

$$v_{z\text{max}} = \frac{\Delta p' R^2}{4\mu l} \Rightarrow \bar{v} = \frac{v_{z\text{max}}}{2} \Rightarrow \bar{v} = \frac{1}{8} \frac{\Delta p'}{\mu l} R^2$$

$$\Delta p' = \frac{8\mu \bar{v} l}{R^2}. \text{ Wandschubspannung: } \tau_0 = -\frac{\Delta p' R}{2l} \quad 2R\pi l \tau_0 = R^2 \pi \Delta p'$$

## Laminare und turbulente Strömungen

### Eigenschaften der turbulenten Strömungen



Der laminar-turbulente Übergang (Umschlag) hängt von der Größe der Reynoldszahl ab:

$$Re = \frac{v d \rho}{\mu} \Rightarrow \text{Umschlag bei } Re \cong 2300$$

zeitgemittelte Geschwindigkeit:  $\bar{v} = \frac{1}{T} \int_0^T \underline{v} dt$  Schwankungsgeschwindigkeiten:  $\underline{v}'$

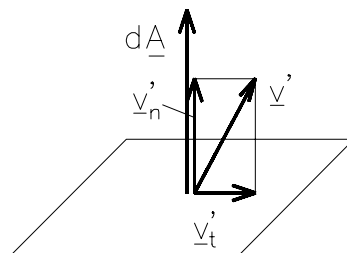
$$(\overline{\underline{v}'} = \frac{1}{T} \int_0^T \underline{v}' dt = 0)$$

$$\underline{v} = \bar{v} + \underline{v}'. \quad p = \bar{p} + p'.$$

$$\text{Turbulenzgrad: } Tu = \frac{\sqrt{\overline{(\underline{v}')^2}}}{|\bar{v}|} = \frac{\sqrt{v_x'^2 + v_y'^2 + v_z'^2}}{|\bar{v}|}$$

### Scheinbare Spannungen

$$\frac{\partial \bar{v}_x}{\partial t} + \frac{\partial (\bar{v}_x^2)}{\partial x} + \frac{\partial (\bar{v}_x \bar{v}_y)}{\partial y} + \frac{\partial (\bar{v}_x \bar{v}_z)}{\partial z} = g_x - \frac{1}{\rho} \frac{\partial \bar{p}}{\partial x} + \nu \left( \frac{\partial^2 \bar{v}_x}{\partial x^2} + \frac{\partial^2 \bar{v}_x}{\partial y^2} + \frac{\partial^2 \bar{v}_x}{\partial z^2} \right) - \frac{\partial \overline{v_x'^2}}{\partial x} - \frac{\partial \overline{v_x' v_y'}}{\partial y} - \frac{\partial \overline{v_x' v_z'}}{\partial z}.$$



$$\int_A \bar{v} \rho \bar{v} dA = - \int_A \bar{p} dA + \int_V \rho \underline{g} dV - \int_A \overline{\underline{v}' \rho \underline{v}'} dA$$

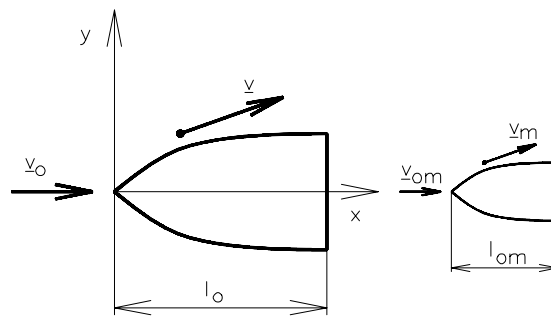
$$-\int_A \overline{v' \rho v'} dA = -\int_A \overline{v'_n \rho v'_n} dA - \int_A \overline{v'_t \rho v'_n} dA$$

$$\int_A \overline{v \rho v} dA = -\int_A \left[ \overline{p} + \rho \overline{(v'_n)^2} \right] dA + \int_V \rho \underline{g} dV - \int_A \rho \overline{(v'_t v'_n)} dA$$

$p_\ell = \rho \overline{(v'_n)^2}$ : scheinbare Druckerhöhung,  $\tau_\ell = -\rho \overline{(v'_t v'_n)}$ : scheinbare Schubspannung

$$-\frac{\partial \overline{(v'_x)^2}}{\partial x} - \frac{\partial \overline{(v'_x v'_y)}}{\partial y} - \frac{\partial \overline{(v'_x v'_z)}}{\partial z} = \frac{1}{\rho} \left( \frac{\partial \sigma_{xt}}{\partial x} + \frac{\partial \tau_{yxt}}{\partial y} + \frac{\partial \tau_{zxt}}{\partial z} \right)$$

## Ähnlichkeit der Strömungen



Charakteristische Geschwindigkeit, Länge, Zeit bei Großausführung und Modell:

$$v_0 \text{ and } v_{0m}, l_0 \text{ and } l_{0m}, t_0 = \frac{l_0}{v_0} \text{ and } t_{0m} = \frac{l_{0m}}{v_{0m}}.$$

Die Strömungen sind ähnlich wenn sie durch die gleichen dimensionslosen Funktionen beschrieben werden können.

$$\frac{v}{v_0} = f\left(\frac{x}{l_0}, \frac{y}{l_0}, \frac{z}{l_0}, \frac{t}{t_0}\right) \text{ and } \frac{p}{\rho v_0^2} = F\left(\frac{x}{l_0}, \frac{y}{l_0}, \frac{z}{l_0}, \frac{t}{t_0}\right).$$

Die Bedingungen der Ähnlichkeit:

$$\frac{\partial v_x}{\partial t} + v_x \frac{\partial v_x}{\partial x} + v_y \frac{\partial v_x}{\partial y} + v_z \frac{\partial v_x}{\partial z} = g_x - \frac{1}{\rho} \frac{\partial p}{\partial x} + \nu \left( \frac{\partial^2 v_x}{\partial x^2} + \frac{\partial^2 v_x}{\partial y^2} + \frac{\partial^2 v_x}{\partial z^2} \right) \text{ multipliziert mit}$$

$$\frac{l_0}{v_0^2}, \frac{\partial \left( \frac{v_x}{v_0} \right)}{\partial \left( \frac{t}{l_0/v_0} \right)} + \frac{v_x}{v_0} \frac{\partial \left( \frac{v_x}{v_0} \right)}{\partial \left( \frac{x}{l_0} \right)} + \dots = \frac{g_x l_0}{v_0^2} - \frac{\partial \left( \frac{p-p_0}{\rho v_0^2} \right)}{\partial \left( \frac{x}{l_0} \right)} + \frac{\nu}{v_0 l_0} \left( \frac{\partial^2 \left( \frac{v_x}{v_0} \right)}{\partial \left( \frac{x}{l_0} \right)^2} + \dots \right)$$

dimensionslose N-S Komponentengleichung

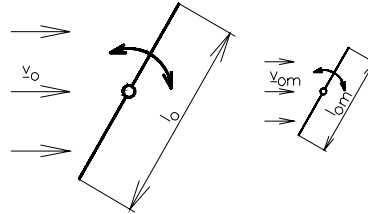
Zwei Strömungen sind ähnlich, wenn

a) beide durch die gleiche dimensionslose Differentialgleichung beschrieben werden können, z.B.

$$\frac{g_x \ell_0}{v_0^2} = \frac{g_{xm} \ell_{0m}}{v_{0m}^2} \Rightarrow Fr = \frac{v_0}{\sqrt{g \ell_0}} \text{ Froude Zahl, } \frac{v}{v_0 \ell_0} = \frac{v_m}{v_{0m} \ell_{0m}} \Rightarrow Re = \frac{v_0 \ell_0}{\nu} \text{ Reynolds Zahl,}$$

$$Re_m = Re \quad Fr_m = Fr$$

b) gleiche dimensionslose Anfangs- und Randbedingungen vorherrschen (z.B. geometrische Ähnlichkeit des Modells und der Großausführung).



$$t_0 = l_0/v_0, \quad \frac{t_{pm}}{t_{0m}} = \frac{t_p}{t_0} \quad \text{i.e.} \quad \frac{t_{pm} v_{0m}}{l_{0m}} = \frac{t_p v_0}{l_0}.$$

$$t_p = \frac{1}{f}, \text{ wo } f[1/s] \text{ die Frequenz } Str = \frac{f \ell_0}{v_0} \text{ Strouhal Zahl}$$

Die dimensionslose Parameter als Quotienten der Kräfte, die auf 1 kg Fluid wirken

$$\text{Trägheitskraft: } F_T \sim \frac{v_0^2}{\ell_0}$$

$$\text{Kraftfeld: } F_G \sim g$$

$$\text{Druckkraft } F_p \sim \frac{(p - p_0) \ell_0^2}{\rho \ell_0^3} = \frac{(p - p_0)}{\rho \ell_0}$$

$$\text{Reibungskraft: } F_s \sim \rho v \frac{v_0}{\ell_0} \frac{\ell_0^2}{\rho \ell_0^3} = v \frac{v_0}{\ell_0^2}$$

$$\text{Oberflächenspannungskraft: } F_f \sim \frac{C}{\ell_0} \frac{\ell_0^2}{\rho \ell_0^3} = \frac{C}{\rho \ell_0^2}$$

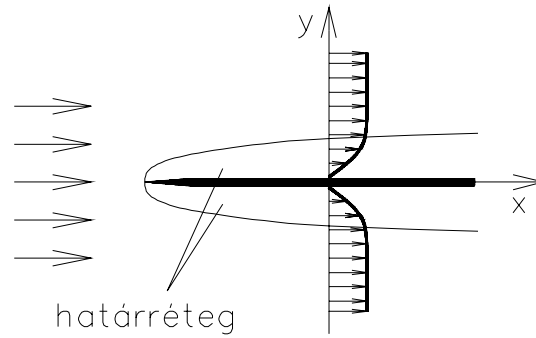
$$\text{Reynolds-Zahl: } Re \sim \frac{F_T}{F_s} \sim \frac{v_0^2 / \ell_0}{v v_0 / \ell_0^2} = \frac{v_0 \ell_0}{\nu}$$

$$\text{Froude-Zahl: } Fr \sim \sqrt{\frac{F_T}{F_G}} = \sqrt{\frac{v_0^2 / \ell_0}{g}} = \frac{v_0}{\sqrt{g \ell_0}}$$

$$\text{Euler-Zahl: } Eu \sim \frac{F_p}{F_T} \sim \frac{(p - p_0) / \rho / \ell_0}{v_0^2 / \ell_0} = \frac{p - p_0}{\rho v_0^2}$$

$$\text{Weber-Zahl: } We \sim \frac{F_f}{F_T} \sim \frac{C / \ell_0^2 / \rho}{v_0^2 / \ell_0} = \frac{C}{\rho v_0^2 \ell_0}$$

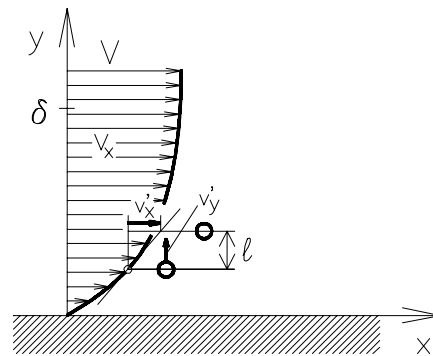
## 12. Grenzschichten



$$v_z = 0, \frac{\partial(\quad)}{\partial z} = 0, \quad v_y \ll v_x \quad \frac{\partial(\quad)}{\partial x} \ll \frac{\partial(\quad)}{\partial y}$$

$$v_x \frac{\partial v_x}{\partial x} + v_y \frac{\partial v_x}{\partial y} = V \frac{dV}{dx} + \nu \frac{\partial^2 v_x}{\partial y^2}$$

$$\frac{\partial v_x}{\partial x} + \frac{\partial v_y}{\partial y} = 0.$$



$$\tau = \tau_{yx\ell} = \rho \ell^2 \left| \frac{\partial v_x}{\partial y} \right| \frac{\partial v_x}{\partial y} = \mu_t \frac{\partial v_x}{\partial y}, \quad \ell \text{ [m] Mischungsweg}$$

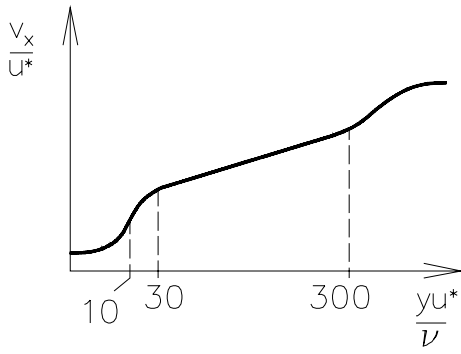
$$\mu_t = \rho \ell^2 \left| \frac{\partial v_x}{\partial y} \right| \text{ Wirbelviskosität}$$

$$u^* = \sqrt{\frac{\tau_0}{\rho}} \text{ [m/s] Bezugs-(Reibungs)geschwindigkeit}$$

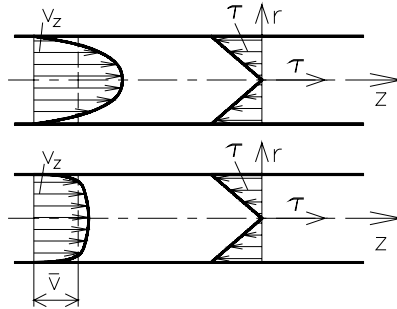
$$\frac{v_x}{u^*} = \frac{1}{\kappa} \ln \frac{yu^*}{\nu} + K \quad \text{wo } \kappa = 0.4, \quad K = 5$$

$$\text{in zäher Unterschicht } \tau = \tau_0 = \mu \frac{\partial v_x}{\partial y}, \quad \frac{v_x}{u^*} = \frac{yu^*}{\nu}$$



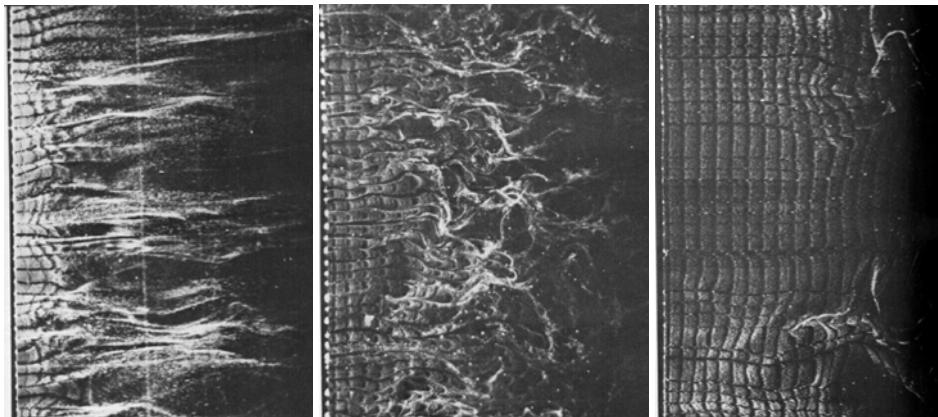


Geschwindigkeits- und Schubspannungsverteilung in einem Rohr bei laminarer und turbulenter Strömung



**Eigenschaften der Strömung im Grenzschicht**

$$y^+ = \frac{yu^*}{\nu}$$

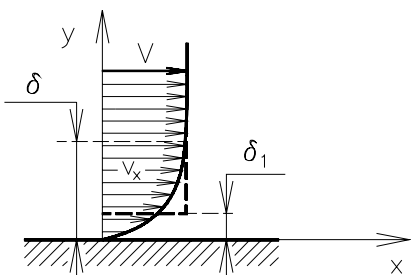


$y^+=2,7$

$y^+=101$

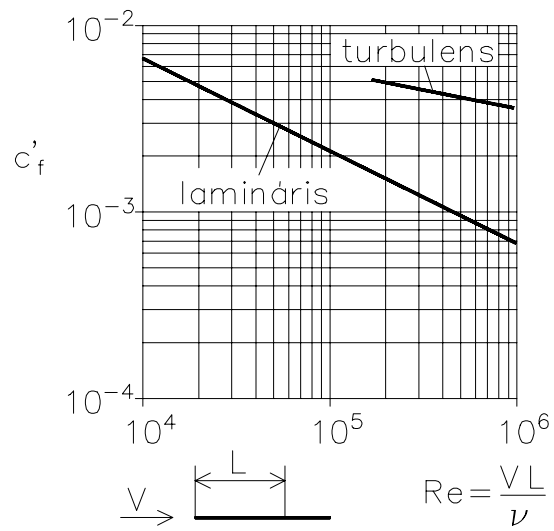
$y^+=407$

Verdrängungsdicke

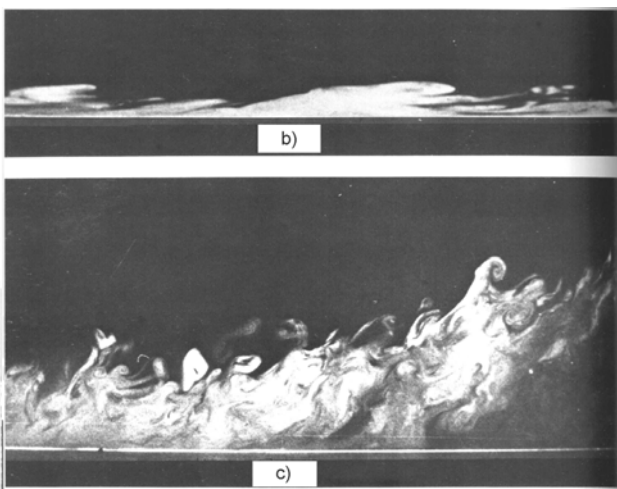
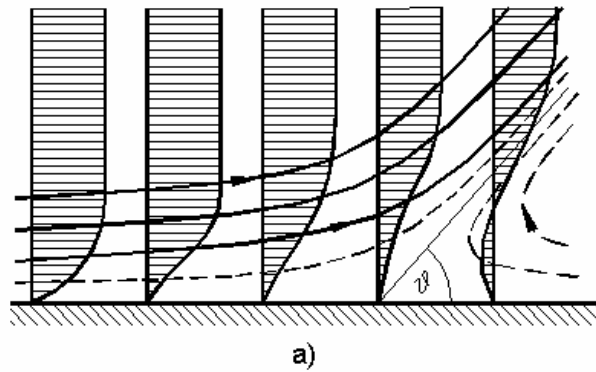
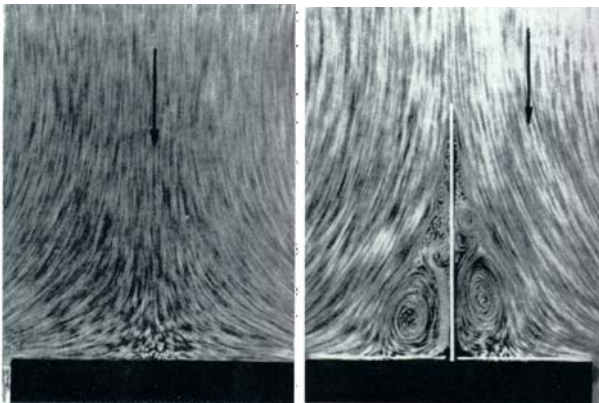


$$\delta_1 = \int_0^{\delta} \left(1 - \frac{v_x}{V}\right) dy .$$

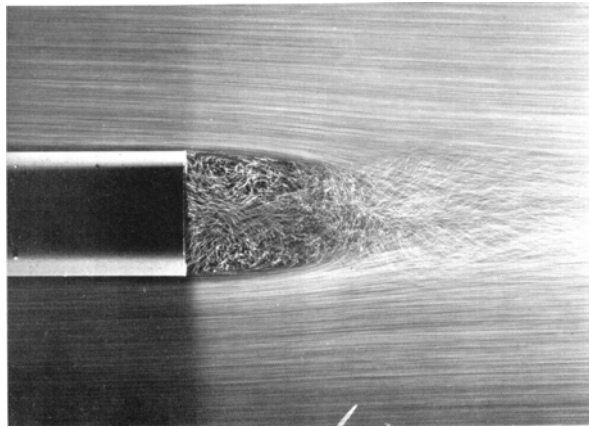
Reibungsbeiwert  $c'_f = \frac{\tau_0}{\frac{\rho}{2} V^2}$



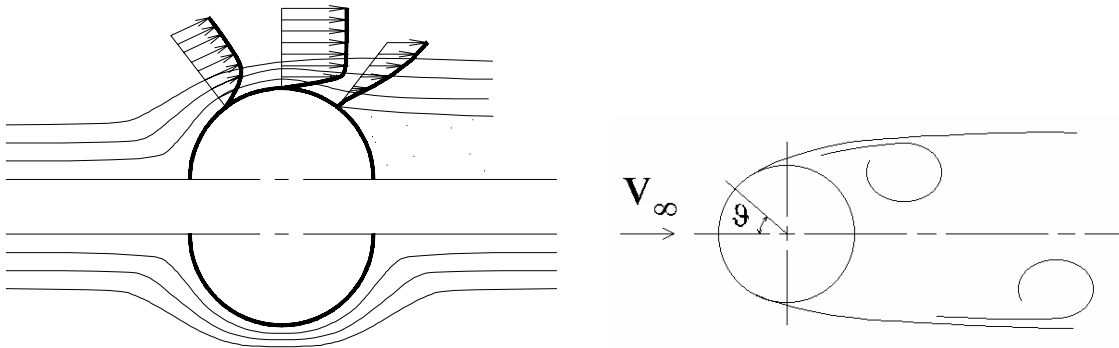
### Grenzschichtablösung



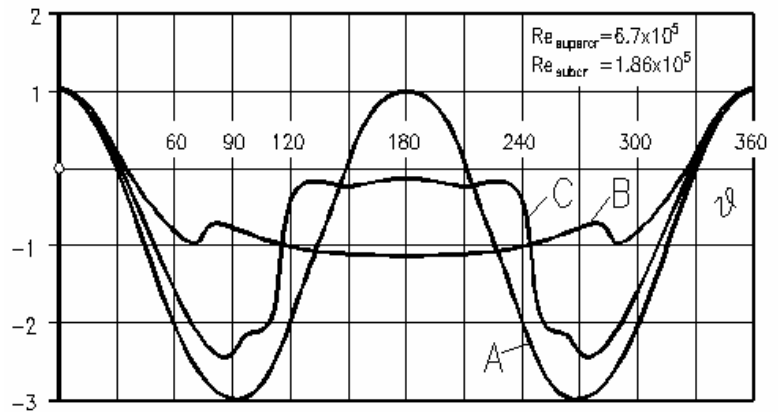
## Ablöseblase



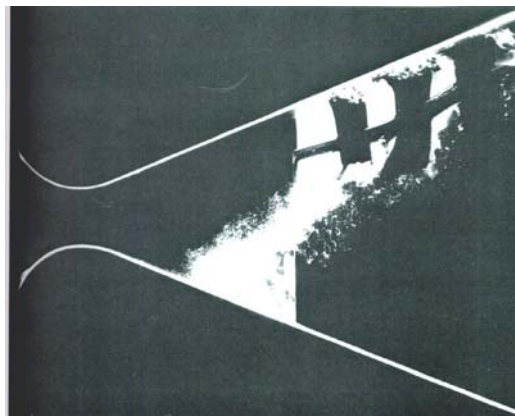
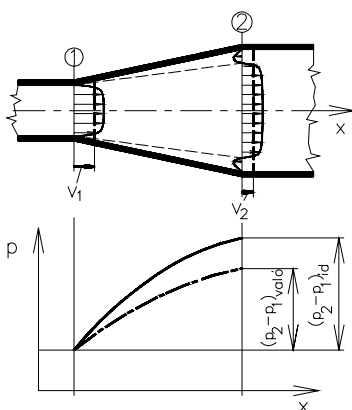
## Umströmung eines Zylinders



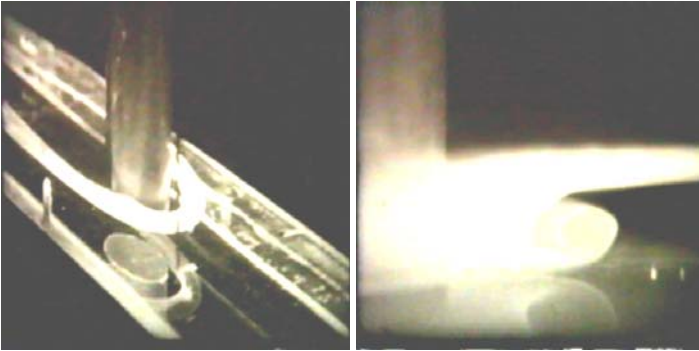
$$c_p = \frac{p - p_0}{\frac{\rho}{2} V^2} \quad \text{Druckkoeffizient}$$



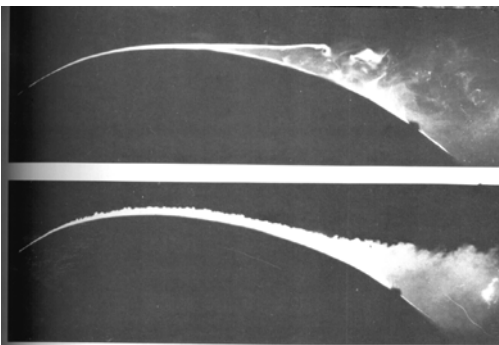
## Strömung in einem Diffusor



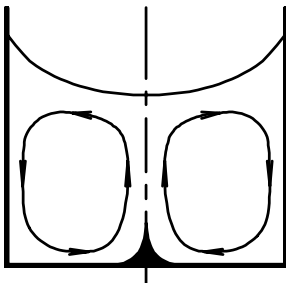
### Hufeisen-Wirbel



### Ablösung der laminaren und turbulenten Grenzschicht

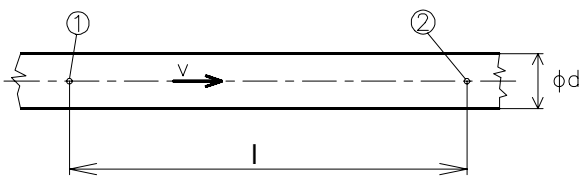


### Sekundärströmung



## 13. Hydraulik

### Erweiterung der Bernoulli Gleichung an reibungsbehafteten Strömungen



$$\rho \frac{v_1^2}{2} + p_1 + \rho U_1 = \rho \frac{v_2^2}{2} + p_2 + \rho U_2 + \Delta p'$$

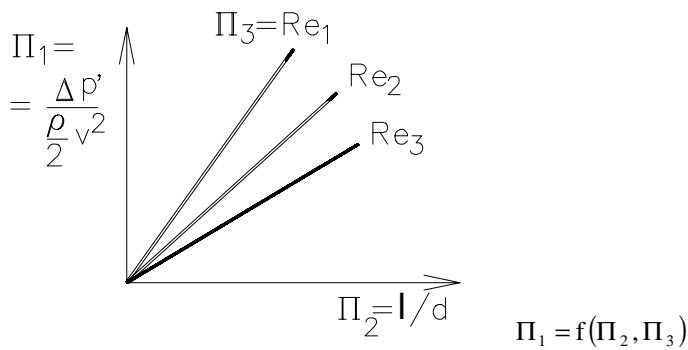
### Dimensionsanalyse

$$\Delta p' = f(\ell, \mu, \rho, d, v)$$

$[Q] = \text{kg}^\alpha \text{m}^\beta \text{s}^\gamma \Rightarrow Q_1, Q_2, \dots, Q_n \Rightarrow F(Q_1, Q_2, \dots, Q_n) = 0 \Rightarrow \Pi_1, \Pi_2, \Pi_3, \dots, \Pi_{n-r}$ , dimensionslose Größen  $\Rightarrow F(\Pi_1, \Pi_2, \Pi_3, \dots, \Pi_{n-r}) = 0$

$$\Pi = \Delta p'^{k_1} \ell^{k_2} \mu^{k_3} \rho^{k_4} d^{k_5} v^{k_6}$$

$$\Pi_1 = \frac{\Delta p'}{\frac{\rho}{2} v^2}, \quad \Pi_2 = \ell/d, \quad \Pi_3 = \text{Re} = \frac{vd}{\nu} \quad F(\Pi_1, \Pi_2, \Pi_3) = 0$$



$$\frac{\Delta p'}{\frac{\rho}{2} v^2} = \lambda(\text{Re}) \frac{\ell}{d} \Rightarrow \Delta p' = \frac{\rho}{2} v^2 \frac{\ell}{d} \lambda(\text{Re}) \quad \text{wo } \lambda \text{ der Reibungsbeiwert ist.}$$

Bei laminarer Rohrströmungen  $\Delta p' = \frac{8\mu\ell}{R^2} v$ , wo  $R = \frac{d}{2} \Rightarrow \Delta p' = \frac{\rho}{2} v^2 \frac{\ell}{d} \frac{64\nu}{vd}$ ,

$$\text{Da } \frac{vd}{\nu} = \text{Re} \Rightarrow \Delta p' = \frac{\rho}{2} v^2 \frac{\ell}{d} \lambda_{\text{lam}} \quad \lambda_{\text{lam}} = \frac{64}{\text{Re}}$$

### Wandrauhigkeit

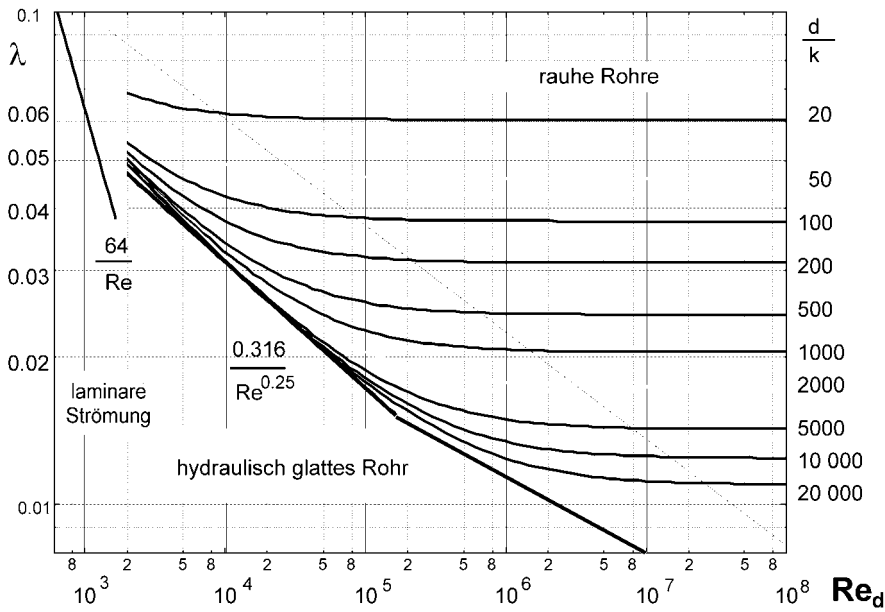
$k[\text{m}]$  Durchmesser der Sandkörner, relative Wandrauhigkeit  $\Pi_4 = \frac{r}{k}$ , wo  $r=d/2$  Rohrradius.

$$\text{Re} > 2300 \quad \text{Re} \leq \text{Re}_h \quad \frac{1}{\sqrt{\lambda_{\text{turb}}}} = 1.95 \lg(\text{Re} \sqrt{\lambda_{\text{turb}}}) - 0.55$$

$$4000 \leq \text{Re} \leq 10^5 \quad \text{Blasius Formel} \quad \lambda_{\text{turb}} = \frac{0.316}{\sqrt[4]{\text{Re}}}$$

### **Moody-Diagramm**

für Bestimmung des Reibungsbeiwertes von Rohre



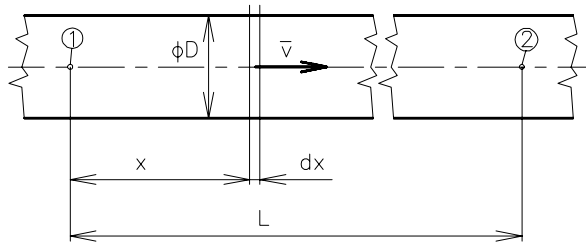
### Wandschubspannung

$$\Delta p' \frac{d^2 \pi}{4} = \frac{\rho}{2} v^2 \frac{\ell}{d} \lambda \frac{d^2 \pi}{4} = \tau_0 d \pi \ell \Rightarrow \tau_0 = \frac{\rho}{2} v^2 \frac{\lambda}{4}$$

Nichtzylindrische Röhre:  $d_e = \frac{4A}{K}$ , wo  $A[\text{m}^2]$  Querschnitt,  $K[\text{m}]$  benetzter Umfang

$$\Delta p' = \frac{\rho}{2} v^2 \frac{\ell}{d_e} \lambda(\text{Re}), \text{ wo } \text{Re} = \frac{v d_e}{\nu}$$

### Kompressible Rohrströmung

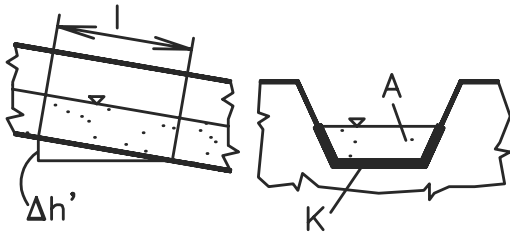


$$-dp = \frac{\rho}{2} v^2 \frac{dx}{D} \lambda, \bar{v} = \frac{q_m}{\rho A}, \rho = \frac{p}{RT} \Rightarrow -dp = \frac{q_m^2 RT \lambda}{2 p A^2 D} dx \Rightarrow -\int_{p_1}^{p_2} p dp = \int_0^L \frac{q_m^2 RT \lambda}{2 A^2 D} dx$$

Da  $\text{Re} = \frac{\bar{v} D}{\nu} = \frac{q_m D}{\rho A \nu} = \frac{q_m D}{A \mu}$ ,  $\mu = f(T)$  und  $T \cong \text{const.}$  Reibungsbeiwert  $\lambda \cong \text{const.}$

$$\frac{p_1^2 - p_2^2}{2} = \frac{q_m^2 RT \lambda L}{2 A^2 D} \frac{\rho_1^2}{\rho_1^2} \Rightarrow \frac{p_1^2 - p_2^2}{2} = p_1 \frac{\rho_1}{2} \bar{v}_1^2 \frac{L}{D} \lambda \Rightarrow \boxed{\frac{p_1^2 - p_2^2}{2} = p_1 \Delta p'_{\text{ink}}}$$

## Strömung in Kanälen mit freiem Wasserspiegel



$$\Delta h' = \frac{\bar{v}^2}{2g} \frac{l}{d_e} \lambda, \text{ wo } d_e = \frac{4A}{K}, \text{ mit der Einführung von } i = \frac{\Delta h'}{l}, \text{ der Neigung des Kanalbodens.}$$

$$\bar{v} = \sqrt{\frac{2gd_e}{\lambda} i} = C \sqrt{d_e i}, \text{ wo } C = \sqrt{\frac{2g}{\lambda}} \text{ Chézy Gleichung, mit } \lambda = 0.02 \sim 0.03$$

Chézy-Koeffizient  $C \cong 28$ .

## Reibungsverlust in Durchströmteilen

### Verlust bei Ausbildung der Rohrströmung

$$\Delta p'_{\text{dev}} = \frac{\rho}{2} v^2 \zeta_{\text{dev}}$$

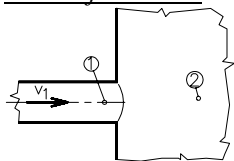
Laminare Strömung: Widerstandsbeiwert  $\zeta_{\text{dev,lam}} \cong 1.2$ , turbulente Strömung:

$$\zeta_{\text{dev,torb}} \cong 0.05$$

### Verlust in Borda-Carnot Erweiterungen (Carnotscher Stoßverlust):

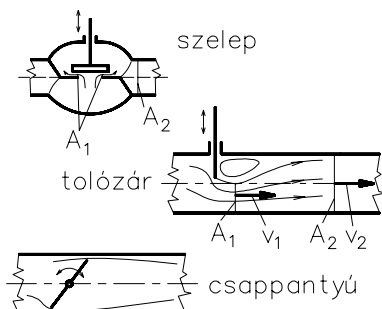
$$\Delta p'_{\text{BC}} = \frac{\rho}{2} (v_1 - v_2)^2$$

### Einlauf-Verlust



$$\Delta p'_{\text{in}} = \frac{\rho}{2} (v_1 - 0)^2 = \frac{\rho}{2} v_1^2$$

### Verlust in Ventile, Schieber und Drosselklappe



$$\Delta p'_v \cong \frac{\rho}{2} v_2^2 \left( \frac{v_1}{v_2} - 1 \right)^2, \zeta_v \cong \left( \frac{A_2}{A_1} - 1 \right)^2$$



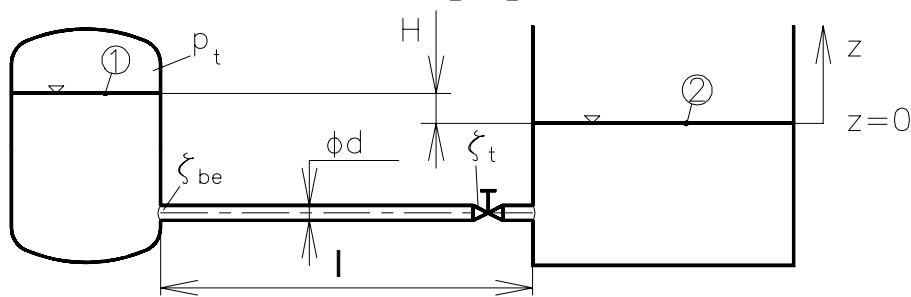


$$\Delta p_s = p_{ny_s} - p_{sz_s} = p_t - p_0 + \rho g(h_2 - h_1) - \rho g(z_{ny} - z_{sz}) + \frac{\rho}{2} v^2 \left( \zeta_1 + \zeta_{sz} + 3\zeta_k + \frac{\sum \ell_i}{d} \lambda \right) + (1 - \eta_d) \frac{\rho}{2} (v^2 - v_D^2) + \frac{\rho}{2} v_D^2.$$

Kontinuitätsgleichung:  $vd^2 = v_D D^2$ .  $Re = \frac{vd}{\nu} \Rightarrow \lambda$

### Strömung in einem Rohr, das zwei Wasserbehälter verbindet

Bekannte Parameter:  $d$   $\ell$   $\zeta_t$ . Berechnung von  $q_v \left[ \frac{m^3}{s} \right]$



$$\rho \frac{v_1^2}{2} + p_1 + \rho U_1 = \rho \frac{v_2^2}{2} + p_2 + \rho U_2 + \Sigma \Delta p'$$

Da  $p_1 = p_t$  und  $p_2 = p_0$ ,  $U = gz$  und  $z_2 = 0$ ,  $z_1 = H$ ,  $v_1 = v_2 = 0$

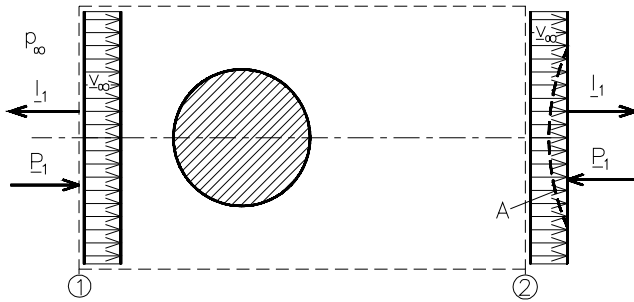
$$\Sigma \Delta p'_{sz} = \frac{\rho}{2} v^2 \left( \zeta_{be} + \zeta_t + \frac{\ell}{d} \lambda + 1 \right) \Rightarrow p_t - p_0 + \rho gH = \frac{\rho}{2} v^2 \left( \zeta_{be} + \zeta_t + \frac{\ell}{d} \lambda + 1 \right)$$

$$v = \sqrt{\frac{2(p_t - p_0 + \rho gH)}{\rho \left( \zeta_{be} + \zeta_t + 1 \right) + \frac{\ell}{d} \lambda}}$$

$$v = \sqrt{\frac{A}{B + C\lambda}}$$

Annahme für  $\lambda' \Rightarrow v' \Rightarrow Re' = \frac{v'd}{\nu} \Rightarrow \lambda' - t \dots q_v = v \frac{d^2 \pi}{4}$ .

## 14. Aerodynamische Kräfte und Momente



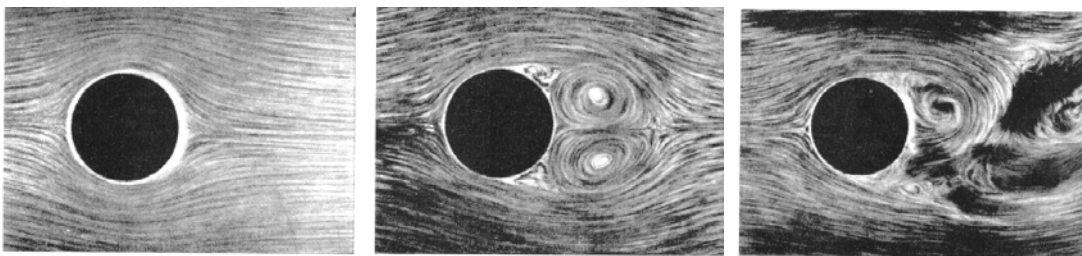
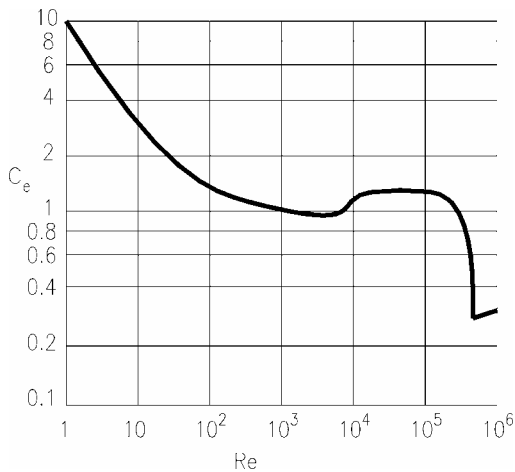
Reibungsbehaftetes Fluid:  $|p_2| = |p_1|$  Da  $p_2 = p_1 = p_\infty$ ,  $v_2 = v_1$ ,  $\Rightarrow |I_2| = |I_1|$ .  $-I_1 + I_2 = P_1 - P_2 - R_x$ ,  
 $\Rightarrow R_x = 0$

### Die auf ein Zylinder wirkende aerodynamische Kraft

$f(F_d, v_\infty, \rho, \mu, d, \ell) = 0$  Dimensionslose Größen:  $\Pi_1 = c_d = \frac{F_d}{\frac{\rho}{2} v_\infty^2 \ell d}$  Widerstandsbeiwert,

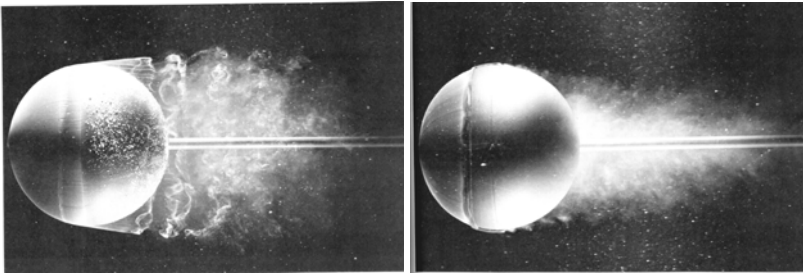
$\Pi_2 = Re = \frac{v_\infty d}{\nu}$  Reynolds Zahl,  $\Pi_3 = \frac{\ell}{d}$  relative Länge

$\Pi_3 = \frac{\ell}{d} = \infty$  2D Strömung  $\Rightarrow \Pi_1 = f(\Pi_2)$ ,  $c_d = f(Re)$

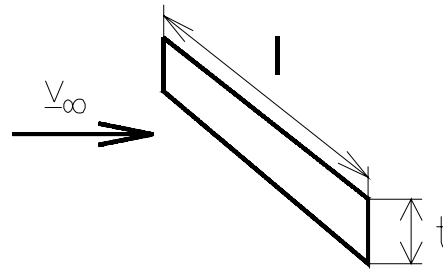
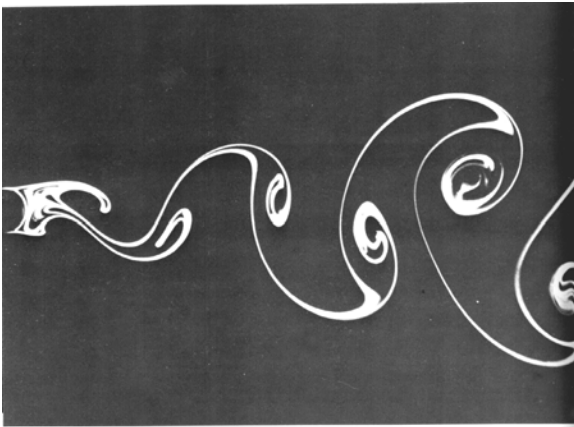


Wenn  $Re$  klein ist:  $F_d \sim \mu v_\infty$ , im Falle größer  $Re$ :  $F_d \sim v_\infty^2$

Die Wirkung des laminar-turbulenten Überganges.



### Karmansche Wirbelstrasse



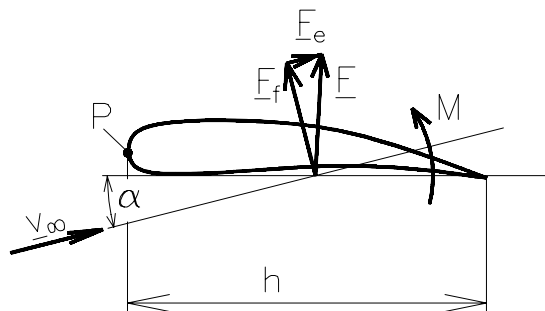
$$\text{2D Strömung, } \frac{l}{t} \Rightarrow \infty \quad c_d = 2. \quad F_d = (\bar{p}_f - \bar{p}_b) \ell t \Rightarrow c_d = \frac{\bar{p}_f - p_\infty}{\frac{\rho}{2} v_\infty^2} - \frac{\bar{p}_b - p_\infty}{\frac{\rho}{2} v_\infty^2} = \bar{c}_{pf} - \bar{c}_{pb}$$

$$c_{p \max} = 1 \quad \bar{c}_{pf} \cong 0.7 \Rightarrow \bar{c}_{pb} \cong -1.3$$

$$\text{3D Effekt: } \frac{l}{d} = \infty, 10, 1 \quad c_d = 2, 1.3, 1.1.$$

Im Falle von Kreiszyylinder  $c_d = 1.2, 0.82$  und  $0.63$  ( $Re=10^5$ ).

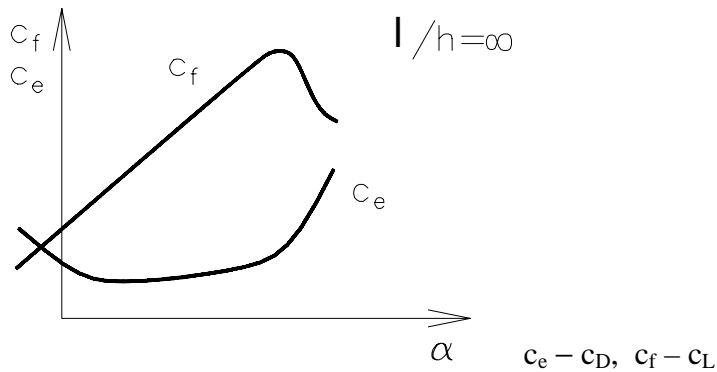
### **Auftrieb und Widerstand von Tragflügeln**



$$|\underline{R}| = \rho v_\infty \Gamma \left[ \frac{\text{N}}{\text{m}} \right] \quad c_1 = \frac{F_1}{\frac{\rho}{2} v_\infty^2 A} \quad \text{Auftriebsbeiwert}, \quad c_d = \frac{F_d}{\frac{\rho}{2} v_\infty^2 A} \quad \text{Widerstandsbeiwert}$$

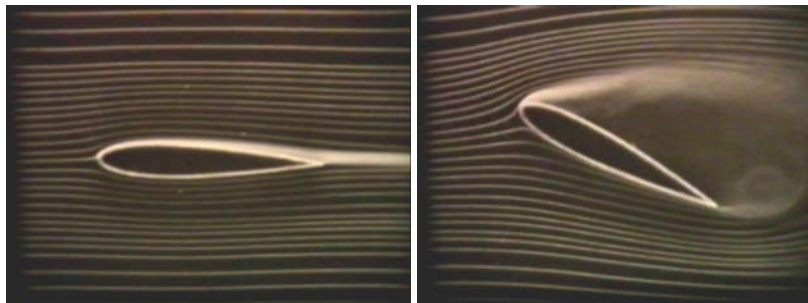
$$c_{Mp} = \frac{M_p}{\frac{\rho}{2} v_\infty^2 A h} \quad \text{Nickmomentenbeiwert}$$

### Auftriebs- und Widerstandskoeffizient als Funktion des Anströmwinkels

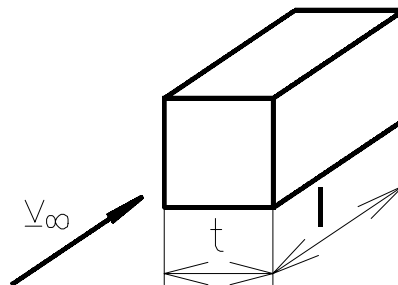


$$c_{L,max} \cong 1.2 \sim 1.8, \quad dc_L/d\alpha = 2\pi[\text{rad}],$$

Die Druckzunahme in Strömungsrichtung (Abnahme der Geschwindigkeit) kann zur Grenzschichtablösung führen.



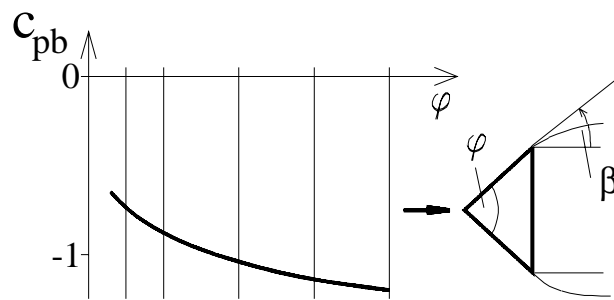
### **Die auf ein Prisma (stumpfen Körper) wirkende Widerstandskraft**



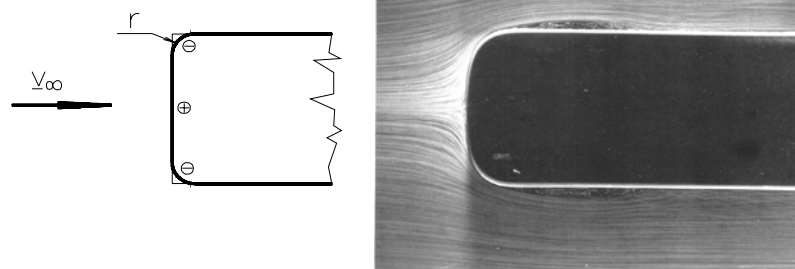
$$c_D = \bar{c}_{pf} - \bar{c}_{pb} + 4 \frac{l}{t} \bar{c}'_f \quad \text{Widerstand} = \text{Bugwiderstand} + \text{Heckwiderstand} + \text{Seitenwandwiderstand}$$

$l/t = 0$  und  $l/t = 5$ :  $c_e = 1.1$  and  $0.8$ .

Druckbeiwert am Heck als Funktion des Winkels zwischen der Anströmrichtung und Tangente der Scherschicht bei der Ablöselinie.



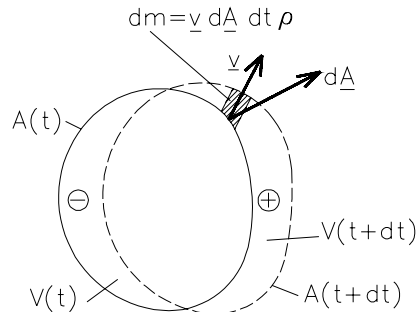
Reduzierung des Bugwiderstandes mit Abrundung der Eintrittskanten:



$$r/t = 0 \Rightarrow 0.2 \quad c_D = 0.8 \Rightarrow 0.2$$

## 15. Gasdynamik

### Energiesatz



reibungsfreies Gas, stationäre Strömung, kein Kraftfeld, keine Wärmeübertragung

$$\frac{d}{dt} \int_V \left( \frac{v^2}{2} + c_v T \right) \rho dV = - \int_A v \rho dA, \text{ wo } c_v \left[ \frac{\text{J}}{\text{kgK}} \right] \text{ spezifische Wärme bei unveränderlichem Volumen}$$

$$c_v T + \frac{p}{\rho} = h = c_p T, \text{ mit } h \text{ [J/kg]: Enthalpie, } c_p \text{ [J/kg/K]: spezifische Wärme bei konstantem Druck.}$$

$$\boxed{\frac{v^2}{2} + c_p T = \text{const}} \text{ entlang der Stromlinie}$$

### Statische, dynamische und Gesamttemperatur

$$T + \frac{v^2}{2c_p} = T_t = \text{const}$$

mit  $T$  (or  $T_{st}$ ) [K] statische Temperatur,  $T_d = \frac{v^2}{2c_p}$  [K] dynamische Temperatur,

$T_t$  [K] Gesamttemperatur.

Energiesatz  $\Rightarrow$  Gesamttemperatur ist konstant entlang der Stromlinie (bei stationäre Strömung von reibungsfreien Gasen)

### Bernoulli-Gleichung für kompressible Gase

Kein Reibungseinfluss und Wärmeübertragung  $\Rightarrow$  isentrope Zustandsänderung:

$$\frac{p}{\rho^\kappa} = \text{const.} = \frac{p_1}{\rho_1^\kappa}, \quad \kappa = \frac{c_p}{c_v} \text{ Isentropenexponent}$$

$$\text{Bernoulli Gleichung: } \frac{v_2^2 - v_1^2}{2} = - \int_{p_1}^{p_2} \frac{dp}{\rho(p)} \Rightarrow v_2^2 = v_1^2 + \frac{2\kappa}{\kappa-1} \frac{p_1}{\rho_1} \left[ 1 - \left( \frac{p_2}{p_1} \right)^{\frac{\kappa-1}{\kappa}} \right].$$

Geschwindigkeit entlang der Stromlinie: 
$$v_2 = \sqrt{v_1^2 + \frac{2\kappa}{\kappa-1} RT_1 \left[ 1 - \left( \frac{p_2}{p_1} \right)^{\frac{\kappa-1}{\kappa}} \right]}$$
\*

$$\frac{p_1}{\rho_1^\kappa} = \text{const.} = \frac{p_2}{\rho_2^\kappa} \quad \text{und} \quad \rho_1 = \frac{p_1}{RT_1} \Rightarrow \frac{p_2}{p_1} = \frac{\rho_2^\kappa}{\rho_1^\kappa} = \frac{p_2^\kappa T_1^\kappa R^\kappa}{R^\kappa T_2^\kappa p_1^\kappa} \Rightarrow \frac{T_2}{T_1} = \left( \frac{p_2}{p_1} \right)^{\frac{\kappa-1}{\kappa}}$$

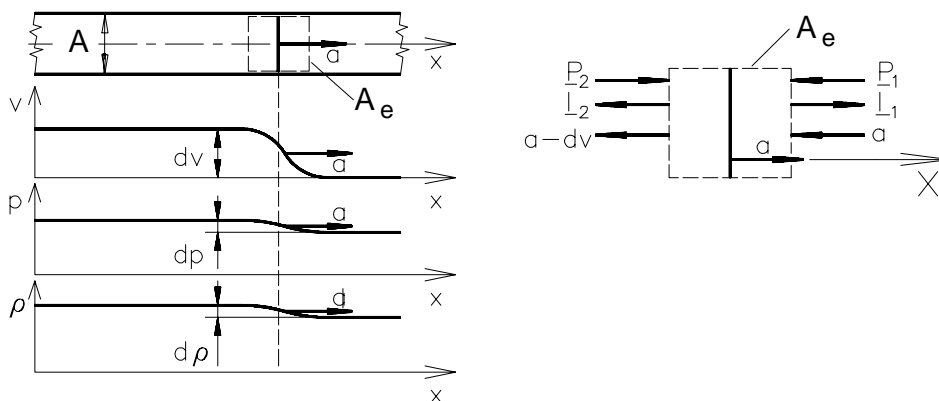
$$\frac{p_2}{p_1} = \left( \frac{p_2}{p_1} \right)^{\frac{1}{\kappa}}, \quad \frac{p_2}{p_1} = \left( \frac{T_2}{T_1} \right)^{\frac{1}{\kappa-1}}. \quad \text{Nach Einsetzen} \quad \frac{T_2}{T_1} = \left( \frac{p_2}{p_1} \right)^{\frac{\kappa-1}{\kappa}} \quad \text{in Gleichung * bekommt man:}$$

$$v_2^2 = v_1^2 + \frac{2\kappa}{\kappa-1} RT_1 \left[ 1 - \frac{T_2}{T_1} \right]. \quad \frac{2\kappa R}{\kappa-1} = 2c_p, \quad \kappa = \frac{c_p}{c_v} \Rightarrow v_2^2 = v_1^2 + 2c_p(T_1 - T_2)$$

und so den Energiesatz:  $c_p T_1 + \frac{v_1^2}{2} = c_p T_2 + \frac{v_2^2}{2}$ .

Ausströmung aus einem Behälter: 
$$v = \sqrt{\frac{2\kappa}{\kappa-1} RT_1 \left[ 1 - \left( \frac{p_e}{p_t} \right)^{\frac{\kappa-1}{\kappa}} \right]}$$

## Die Schallgeschwindigkeit



Impulssatz  $\rho a^2 A - (\rho + d\rho)(a - dv)^2 A = (p + dp)A - pA \quad 2\rho a dv - a^2 d\rho = dp$ ,

Kontinuität:  $(a - dv)(\rho + d\rho) = \rho a \Rightarrow \rho dv = a d\rho$ .

Geschwindigkeit der Druckwellen (Schallgeschwindigkeit): 
$$a = \sqrt{\frac{dp}{d\rho}}$$

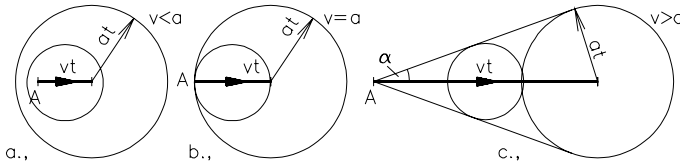
Im Falle von isentroper Zustandsänderung:  $p = \frac{p_0}{\rho_0^\kappa} \rho^\kappa, \quad \frac{dp}{d\rho} = \frac{p_0}{\rho_0^\kappa} \kappa \rho^{\kappa-1}$

So ergibt sich die Schallgeschwindigkeit: 
$$\sqrt{\frac{dp}{d\rho}} = a = \sqrt{\kappa RT}$$

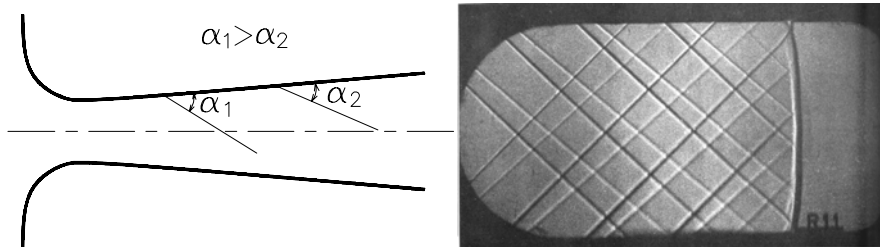
Zusätzliche Bedingungen der Ähnlichkeit für Strömungen von kompressiblen Medien:

$$\kappa = \kappa_m \quad \text{und} \quad \text{Mach Zahl:} \quad Ma = \frac{v_0}{a_0} = Ma_m = \frac{v_{0m}}{a_{0m}}$$

## Verbreitung von Druckwellen

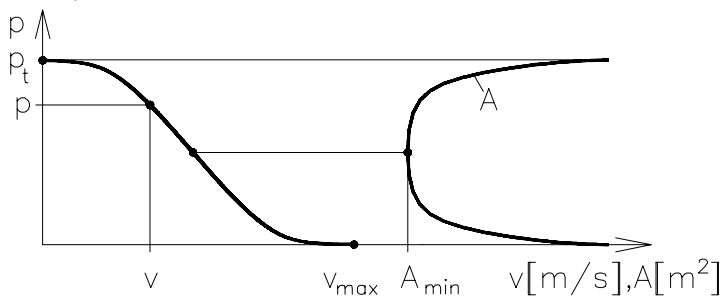


Machscher Kegel, Machsche Linie und Machscher Winkel:  $\sin \alpha = \frac{at}{vt} = \frac{a}{v} = \frac{1}{\text{Ma}}$



## Ausströmung eines Gases aus einem Druckbehälter

$$v = \sqrt{\frac{2\kappa}{\kappa-1} RT_t \left[ 1 - \left( \frac{p}{p_t} \right)^{\frac{\kappa-1}{\kappa}} \right]}$$



$$v_{\max} = \sqrt{\frac{2\kappa}{\kappa-1} RT_t} \quad \text{die Tangente der Kurve: } v \frac{\partial v}{\partial e} = -\frac{1}{\rho} \frac{\partial p}{\partial e} + g_e \Rightarrow \frac{dp}{dv} = -\rho v.$$

$$\max -\frac{dp}{dv} \Rightarrow \frac{d(\rho v)}{dv} = v \frac{d\rho}{dv} + \rho = 0 \Rightarrow \rho \left[ 1 - \frac{v^2}{dp/d\rho} \right] = \rho \left[ 1 - \frac{v^2}{a^2} \right] = 0$$

im Inflexionspunkt  $v = a$ , d.h.  $\text{Ma} = 1$

Da  $q_m = \rho v A = -\frac{dp}{dv} A = \text{const.}$  bei  $\frac{dp}{dv} = 0$  (bei  $v = 0$  und  $p = 0$ )  $A \rightarrow \infty$ .

Für  $-\frac{dp}{dv} = \max$  ist der Querschnitt  $A$  hier der engste: Lavaldüse.

$$T_t = T^* + \frac{a^{*2}}{2c_p} = T^* + \frac{\kappa RT^*}{2c_p} = T^* \left[ 1 + \frac{c_p / c_v (c_p - c_v)}{2c_p} \right] = \frac{\kappa+1}{2} T^*$$

$$\frac{T^*}{T_t} = \frac{2}{\kappa+1} (=0.833), \quad \frac{p^*}{p_t} = \left( \frac{T^*}{T_t} \right)^{\frac{\kappa}{\kappa-1}} = \left( \frac{2}{\kappa+1} \right)^{\frac{\kappa}{\kappa-1}} (=0.53) \quad \frac{\rho^*}{\rho_t} = \left( \frac{T^*}{T_t} \right)^{\frac{1}{\kappa-1}} = \left( \frac{2}{\kappa+1} \right)^{\frac{1}{\kappa-1}} (=0.63).$$





Kontinuität  $q_m = \rho^* v^* A^* = \rho_{ki} v_{ki} A_{ki}$

$$0.63 \rho_t \sqrt{\kappa R 0.83 T_t} A^* = A_{ki} \rho_t \left( \frac{p_e}{p_t} \right)^{\frac{1}{\kappa}} \sqrt{\frac{2\kappa}{\kappa-1} R T_t \left[ 1 - \left( \frac{p_e}{p_t} \right)^{\frac{\kappa-1}{\kappa}} \right]}$$

Zwei isentropische Lösungen: Punkt B und D.

---

---